

ENSEM

2<sup>ème</sup> Année Filière Mécanique

Maîtrise de Mécanique

FLUIDES PARFAITS INCOMPRESSIBLES

EXERCICES ET PROBLEMES

SOLUTIONS

# Sommaire

## • Chapitre 1

- I. Implosion d'une Bulle.
- II. Décomposition d'Helmholtz.
- III. Tourbillons.
  - ①. Le fillet tourbillon.
  - ②. Le fillet tourbillon rectiligne.
  - ③. Rotation d'une colonne de fluide.
  - ④. Couche de cisaillement.
  - ⑤. Jet circulaire .

## • Chapitre 2

- I. Transformations conformes
- II. Recherche d'écoulements - Forces

## • Chapitre 3

- I. Transformée conforme et ellipse
- II. La Formule de Joukowsky
- III. Efforts sur une plaque plane

## • Chapitre 4

- I. Mouvement d'une sphère dans un liquide
- II. Cylindre en rotation dans un écoulement uniforme

## • Chapitre 5

- I. Bateau à mat tournant
- II. Vidange d'un récipient

# Chapitre 1

## I Implosion d'une bulle :

① • incompressible       $\operatorname{div} \vec{v} = 0$   
 irrotationnel       $\operatorname{rot} \vec{v} = 0 \Rightarrow \vec{v} = \operatorname{grad} \varphi \quad \left. \begin{array}{l} \\ \end{array} \right\} \Rightarrow \Delta \varphi = 0$

- Condition initiale :

$$\begin{aligned} r < R_0 : p = 0 \quad \vec{v} = 0 \quad \left. \begin{array}{l} \\ \end{array} \right\} \text{d'où } \varphi = 0 \\ r > R_0 : \vec{v} = 0 \end{aligned}$$

- fluide parfait sans pesanteur et irrotationnel :

$$\frac{\partial \vec{v}}{\partial t} = -\operatorname{grad} \left( \frac{p}{\rho_0} + \frac{v^2}{2} \right)$$

$$= \frac{\partial \operatorname{grad} \varphi}{\partial t} = \operatorname{grad} \frac{\partial \varphi}{\partial t}$$

$$\text{d'où } \frac{\partial \varphi}{\partial t} + \frac{p}{\rho_0} + \frac{v^2}{2} = f(t)$$

- Mouvement matériel de l'interface :

$$F(x_i, t) = 0$$

$$0 = \frac{dF}{dt} = \frac{\partial F}{\partial t} + \vec{v}_i \cdot \operatorname{grad} F$$

$$\text{Or } \operatorname{grad} F = \|\operatorname{grad} F\| \vec{m} \quad \text{d'où } \vec{v}_i \cdot \vec{m} = \frac{-\frac{\partial F}{\partial t}}{\|\operatorname{grad} F\|} = \frac{-\frac{\partial F}{\partial t}}{\frac{\partial F}{\partial \vec{m}}} = \frac{-\frac{\partial F}{\partial t}}{\frac{\partial F}{\partial \vec{m}}}$$

$$= \operatorname{grad} F \cdot \vec{m} \cdot \vec{m}$$

$$= \frac{\partial F}{\partial \vec{m}} \vec{m}$$

$\vec{v}_i \cdot \vec{m} =$	$\frac{\partial F}{\partial t}$
$\frac{\partial F}{\partial \vec{m}} =$	$\frac{\partial F}{\partial \vec{m}}$

$$\text{suiv. } \vec{v}_i = \operatorname{grad} \varphi \text{ suiv.}$$

- Continuité de pression :  $p_0 = 0 = p \text{ suiv.}$

- conditions en  $\infty$ :  $p = p_\infty$

$$\vec{v} = \operatorname{grad} \varphi = 0$$

$$\frac{\partial \vec{v}}{\partial t} = 0$$

$$\textcircled{2} \cdot \Delta f = 0 \Leftrightarrow \frac{d}{dr} \left( r^2 \frac{df}{dr} \right) = 0$$

• Mouvement de l'interface :

$$F = r - R(t) \quad \frac{\partial F}{\partial t} = - \frac{dR}{dt}$$

$$\begin{aligned} \frac{\partial F}{\partial \vec{n}} &= \vec{g} \vec{n} d\vec{r} \cdot \vec{n} \\ &= \vec{g} \vec{n} d\vec{r} \cdot \vec{n} = \frac{\partial r}{\partial n} = 1 \end{aligned}$$

$$\frac{\partial f}{\partial \vec{n}} = \vec{g} \vec{n} d\vec{f} \cdot \vec{n} = \frac{\partial f}{\partial r}$$

$$\text{d'où} \quad \boxed{\frac{\partial f}{\partial r}(R) = \frac{dR}{dF}(R)}$$

• Conditions initiales :

$$r=0 \quad \text{d'où} \quad f(\infty) = 0 \quad \frac{dR}{dt}(t=0) = 0 \\ R(t=0) = 0.$$

$$\bullet \quad \frac{\partial f}{\partial t} + \frac{1}{\rho_0} + \frac{v^2}{2} = f(t). \quad \text{Bernoulli.}$$

$$\bullet \quad \text{en } \infty : \quad \gamma = \gamma_\infty \quad \frac{\partial f}{\partial r} = 0$$

$$\textcircled{3} \quad \frac{1}{r^2} \frac{d}{dr} \left( r^2 \frac{df}{dr} \right) = 0 \quad \text{d'où} \quad f = - \frac{A(t)}{r} + B(t)$$

$$\text{et } \lim_{r \rightarrow \infty} \frac{\partial f}{\partial r} = 0 \quad \text{d'où} \quad B = \text{const} = 0 \quad \text{car } f \text{ est défini à une constante près.}$$

$$-q = \int_S \vec{v} \cdot \vec{n} dS = - \int_S \vec{g} \vec{n} dS = - \int_S \frac{\partial f}{\partial r} dS$$

$$\text{d'où} \quad q = - \frac{\partial f(R)}{\partial r} \frac{4\pi R^2}{2} = - \frac{A(t)}{R^2} 4\pi R^2 = - 4\pi A(t)$$

$$\text{d'où} \quad \boxed{f = - \frac{q(t)}{4\pi r}}$$

(4)

Bernoulli en  $\infty$ 

$$\frac{d\psi}{dt}(x) + \frac{p_\infty}{\rho_0} + \frac{1}{2} v^2(x) = f(t)$$

d'où  $f(t) = \frac{p_\infty}{\rho_0}$ .

Bernoulli en  $R$ :

$$\frac{d\psi}{dt}(R) + \frac{0}{\rho_0} + \frac{1}{2} v_c^2(R) = f(t) = \frac{p_\infty}{\rho_0}.$$

$$\psi = -\frac{q}{4\pi R} \Rightarrow \frac{d}{dt} \left( \frac{\psi(t)}{4\pi R} \right) + \frac{1}{2} \left( \frac{dR}{dt} \right)^2 = \frac{p_\infty}{\rho_0}.$$

$$\frac{d\psi}{dt}(R) = \frac{dR}{dt}(R) \Rightarrow \frac{dR}{dt}(R) = \frac{d\psi}{dt}(R) = -\frac{q}{4\pi R^2} = v_c$$

d'où  $-\frac{1}{R} \frac{d}{dt} \left( R^2 \frac{dR}{dt} \right) + \frac{1}{2} \left( \frac{dR}{dt} \right)^2 = \frac{p_\infty}{\rho_0}.$

$$+ R \frac{d^2 R}{dt^2} + \frac{3}{2} \left( \frac{dR}{dt} \right)^2 = -\frac{p_\infty}{\rho_0}$$

(5)

$$L = R_0 \quad R^* = R/R_0$$

$$V = \sqrt{\frac{p_\infty}{\rho_0}} \quad d'm T = \frac{R_0}{\sqrt{\frac{p_\infty}{\rho_0}}} = R_0 \sqrt{\frac{\rho_0}{p_\infty}} \quad t^* = \frac{t}{T}$$

$$-R^* \frac{d^2 R^*}{dt^{*2}} - \frac{3}{2} \left( \frac{dR^*}{dt^*} \right)^2 = -1 \quad (1)$$

(6)

$$\xi = \frac{dR}{dt} \text{ et } \eta = R(t) \quad \left| \begin{array}{c} t \\ R_0 \end{array} \right. \rightarrow \left| \begin{array}{c} m \\ \eta \end{array} \right.$$

$$\frac{d\xi}{dt} = \frac{d\xi}{d\eta} \cdot \frac{d\eta}{dt} = \frac{d\xi}{d\eta} \frac{dR}{dt} = \frac{d\xi}{d\eta} \xi$$

d'où  $-\eta \frac{d\xi}{dt} - \frac{3}{2} \xi^2 = 1$

$$-\eta \xi \frac{d\xi}{d\eta} - \frac{3}{2} \xi^2 = 1 \quad \frac{\xi}{2} \xi^2 + \eta \xi \frac{d\xi}{d\eta} + 1 = 0$$

$$\boxed{3f + \eta \frac{df}{d\eta} + 2 = 0} \quad (2)$$

solution particulière :  $f = -\frac{2}{3}$

solution homogène  $3f + n \frac{df}{dn} = 0$

$$3 \frac{dn}{n} + \frac{df}{f} = 0 \text{ d'où } f = \frac{k}{n^3}$$

$$\text{D'où } f = \frac{k}{n^3} - \frac{2}{3} = \left( \frac{dR}{dt} \right)^2$$

$$t=0 \quad R=0 \quad \frac{dR}{dt}=0 \quad \text{d'où } \frac{k}{1^3} - \frac{2}{3} = 0 \quad k = \frac{2}{3}$$

$$\left( \frac{dR}{dt} \right)^2 = \frac{2}{3} \left( \frac{1}{R^3} - 1 \right)$$

$$\boxed{\left( \frac{dR}{dt} \right)^2 = \frac{2}{3} \left( \frac{1}{R^3} - 1 \right)} \quad (3)$$

$$\frac{dR}{dt} = -\sqrt{\frac{2}{3}} \sqrt{\frac{1}{R^3} - 1} \quad \text{car } \frac{dR}{dt} < 0$$

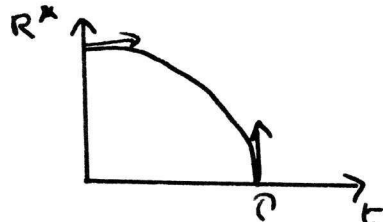
$$dt = -\sqrt{\frac{3}{2}} \frac{dR}{\sqrt{\frac{1}{R^3} - 1}}$$

$$t = -\sqrt{\frac{3}{2}} \int_1^{R^*} \frac{dR}{\sqrt{\frac{1}{R^3} - 1}}$$

$$\text{avec } R^* = \bar{R}^{1/3} = +\frac{1}{\sqrt[6]{6}} \int_{\bar{R}}^1 \bar{u}^{1/6} d(\bar{u}-1)^{-1/2} du$$

$$\boxed{t^* = -\sqrt{\frac{3}{2}} \int_1^{R^*} \frac{dR}{\sqrt{\frac{1}{R^3} - 1}}} \quad (4)$$

$$\boxed{t = -\sqrt{\frac{3}{2}} \int_1^R \frac{dR}{\sqrt{\frac{1}{R^3} - 1}}}$$



7

8  $\lim_{t \rightarrow \infty} \frac{dR}{dt} = \infty$  et  $\lim_{t \rightarrow \infty} R(t) = 0$ .

## II Décomposition d'Helmholtz:

$$\forall \varphi' \quad \int_{\Omega} |\vec{v} - \operatorname{grad} \varphi'|^2 dx \leq \int_{\Omega} |\vec{v} - \operatorname{grad} \varphi'|^2 dx$$

d'après la définition de  $\varphi'$

$$\text{d'où } \int_{\Omega} |w|^2 dx \leq \int_{\Omega} |w + \operatorname{grad}(\varphi' - \varphi)|^2 dx$$

puisque  $\vec{v} = \operatorname{grad} \varphi + w$

$$\text{l'où } \left\{ |\operatorname{grad}(\varphi' - \varphi)|^2 + 2 w \cdot \operatorname{grad}(\varphi' - \varphi) \right\} dx \geq 0$$

$$\text{or } \vec{w} \cdot \operatorname{grad}(\varphi' - \varphi) = \operatorname{div}[(\varphi' - \varphi) \vec{w}] - (\varphi' - \varphi) \operatorname{div} \vec{w}$$

$$\text{et } \int_{\Omega} \operatorname{div}(\varphi' - \varphi) \vec{w} dx = \int_{\Omega} (\varphi' - \varphi) \vec{w} \cdot \vec{n}$$

Il vient alors

$$\forall \varphi' \quad \int_{\Omega} |\operatorname{grad}(\varphi' - \varphi)|^2 dx + 2 \int_{\Omega} (\varphi' - \varphi) \vec{w} \cdot \vec{n} - \int_{\Omega} (\varphi' - \varphi) \operatorname{div} \vec{w} \geq 0$$

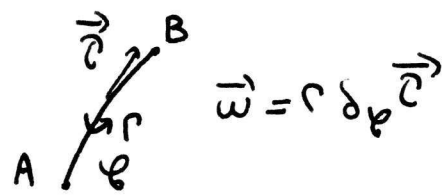
$$\text{et donc : } \vec{w} \cdot \vec{n} = 0 \text{ sur } \partial \Omega$$

$$\operatorname{div} \vec{w} = 0 \text{ dans } \Omega$$

$\varphi'$  est donc le potentiel  $\varphi$  de la décomposition d'Helmholtz.

### III Tourbillons :

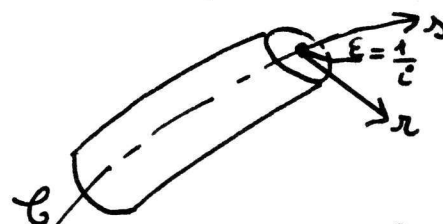
#### ① Le fillet tourbillon



$$\vec{\omega} = r \delta_\varphi \vec{C}$$

a) Soit la suite de champs de vorticité  $\vec{\omega}_i$  tels que :

$$\begin{aligned}\vec{\omega}_i &= \frac{r}{\pi i^2} \vec{C} \text{ pour } r < \varepsilon = \frac{1}{i}, \quad i \in \mathbb{N} \\ &= 0 \quad \text{pour } r > \varepsilon = \frac{1}{i}\end{aligned}$$



où  $\vec{C}$  est le vecteur unitaire tangent à  $C$   
 $+ r$  est la distance à  $C$   
 $+ s$  est une abscisse curviligne sur  $C$

C'est donc une suite de tubes de vorticité constante de rayon  $\varepsilon = \frac{1}{i}$  et de fibre centrale  $C$ .

$$\text{On a } \iint_{\text{section } \perp \text{ tube}} \vec{\omega}_i \cdot dS = \frac{r}{i^2 \pi} \vec{C} \pi i^2 = r \vec{C}$$

Soit  $T\vec{\omega}_i$  la distribution canoniquement associée à  $\vec{\omega}_i$ . On a par définition :

$$\langle T\vec{\omega}_i, \varphi \rangle = \iint_{\mathbb{R}^3} \vec{\omega}_i \cdot \varphi ds = \iint_{\varphi \text{ section } \perp \text{ tube}} \vec{\omega}_i \cdot \varphi dS$$

$$\begin{aligned}\text{D'où : } \lim_{i \rightarrow \infty} \langle T\vec{\omega}_i, \varphi \rangle &= \iint_{\varphi \text{ section } \perp \text{ tube}} \vec{\omega}_i \cdot \varphi dS \\ &= \int_{\varphi} r \vec{C} \varphi(s) ds\end{aligned}$$

On a donc

$$\boxed{\vec{\omega} = \lim_{i \rightarrow \infty} T\vec{\omega}_i = r \delta_\varphi \vec{C}}$$

car  $\langle \delta_\varphi \vec{C}, \varphi \rangle = \int_{\mathbb{R}} \varphi ds$  par définition.

b) flux de  $\vec{\omega}$  =  $\iint_{\text{section tube}} \vec{\omega} \cdot d\vec{s} = \lim_{i \rightarrow \infty} \iint_{\text{section tube}} \vec{\omega}_i \cdot d\vec{s}$

$$= \lim_{i \rightarrow \infty} \left( \iint_{\text{section}} \vec{\omega}_i \cdot dS \right) \cdot \vec{r} = r \vec{r} \cdot \vec{r} = r^2$$

 circulation de  $\vec{\omega}$  =  $\oint_L \vec{\omega} \cdot d\vec{l} = \iint_{\text{section}} \vec{\omega} \cdot d\vec{s}$  (théorème de Stokes)

$$= r^2$$

c) On rappelle que  $\operatorname{div} T f = T \operatorname{div} f + [T f] \cdot \vec{n} \delta_S + [f^2] \delta_{\infty}$ ,

d'où :

$$\operatorname{div} \vec{\omega} = \lim_{i \rightarrow \infty} \operatorname{div} T \vec{\omega}_i = \lim_{i \rightarrow \infty} (T \operatorname{div} \vec{\omega}_i + [\vec{\omega}_i] \cdot \vec{n} \delta_S)$$

Or  $\operatorname{div} \vec{\omega}_i = 0$  car  $\vec{\omega}_i$  est constante par morceau et  $\vec{\omega}_i$  n'effectue rien sauf que sur la surface du tube de vorticité. Comme  $[\vec{\omega}_i \cdot \vec{n}] = 0$  sur le tube, on a donc

$$\boxed{\operatorname{div} \vec{\omega} = 0 \text{ avec } \vec{\omega} = r \delta_{\infty} \vec{r}}$$

d)

$$\vec{v}(x) = \lim_{i \rightarrow \infty} \iint_{\mathbb{R}^3} \frac{\vec{\omega}_i}{4\pi} \wedge \frac{x - \xi}{|x - \xi|^3} d\xi = \frac{1}{4\pi} \lim_{i \rightarrow \infty} \iint_{\text{section tube}} \{\{\vec{\omega}_i \cdot dS\} \wedge \frac{(x - \xi)}{|x - \xi|^3}\}_{\xi=0} dS$$

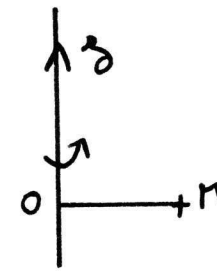
d'où  $\boxed{\vec{v}(x) = \frac{1}{4\pi} \iint_{\text{section tube}} r \vec{r} \wedge \frac{x - \xi(1)}{|x - \xi(1)|^3} dS}$

## ② Le fillet tourbillon rectiligne :

a)

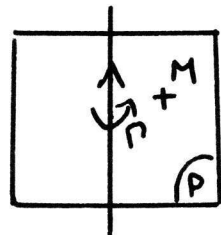
- invariance par translation suivant  $\vec{z}$   
 $\Rightarrow \vec{v} \text{ indépendant de } z$

- invariance par rotation autour de  $\vec{z}$   
 $\Rightarrow \vec{v} \text{ indépendant de } \varphi$



$\Rightarrow \vec{v}$  ne dépend que de  $r$

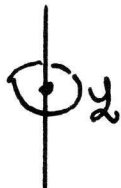
-



$\vec{w}$  vecteur axial  $\Rightarrow P$  est un plan d'antisymétrie  
 $\Downarrow$   
 $\vec{v}$  vecteur polaire

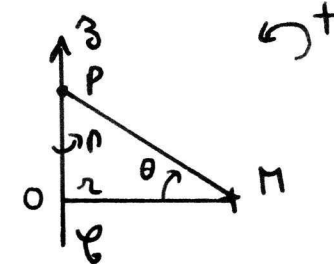
$\vec{v}$  est orthogonal à  $P$   
cad  $\vec{v}$  est colinéaire à  $\vec{\varphi}$

b)



$$r = \oint_{\text{cercle}} \vec{v} \cdot d\vec{l} = \oint_{\text{cercle}} v(r) dl = 2\pi r v(r)$$

d'où  $\vec{v}(r) = \frac{r}{2\pi r} \vec{\varphi}$



c) Biot et Savart en 3D :

$$\vec{v}(M) = \frac{r}{4\pi} \oint_C \vec{P} \wedge \frac{r - \vec{r}(s)}{|r - \vec{r}(s)|^3} ds$$

d'où  $\vec{v}(M) = \frac{r}{4\pi} \oint_C \vec{P} \wedge \frac{\vec{PM}}{|\vec{PM}|^3} ds = \frac{r}{4\pi} \oint_C \frac{\vec{MP} \wedge d\vec{l}}{r^3}$  où  $d\vec{l}$  est l'élément différentiel sur C

$$\vec{OP} = -r \vec{\varphi} \quad d\vec{l} = d\theta \vec{\varphi} = \left( \frac{r}{\cos^2 \theta} \right) d\theta \vec{\varphi}$$

$$PM = \frac{r}{\cos \theta} \quad \vec{MP} \wedge \vec{\varphi} = \vec{MO} \wedge \vec{\varphi} = r \vec{\varphi}$$

$$\frac{\vec{MP} \wedge d\vec{l}}{r^3} = - \left( \frac{\cos \theta}{r} \right)^3 \left( \frac{r}{\cos^2 \theta} \right) d\theta \quad \vec{MP} \wedge \vec{\varphi}$$

$$= - \left( \frac{\cos \theta}{r} \right)^3 \frac{r}{\cos^2 \theta} r \vec{\varphi} d\theta = - \frac{\cos \theta}{r} d\theta \vec{\varphi}$$

d'où  $\vec{v}(M) = \frac{r}{4\pi r} \left( \frac{\vec{\varphi}}{\cos^2 \theta} \right) - \cos \theta d\theta = \frac{r \vec{\varphi}}{2\pi r}$

$$\boxed{\vec{v}(M) = \frac{r}{2\pi r} \vec{\varphi}}$$

Biot et Savart en 2D:  $\vec{\omega} = r \delta_0 \vec{z}$

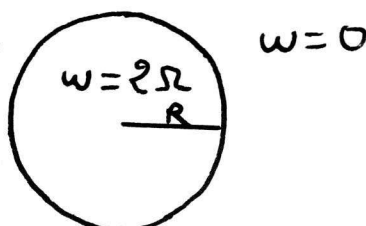
$$\begin{aligned}\vec{\omega}(M) &= \frac{1}{2\pi} \iint_{R^2} \vec{\omega} \wedge \frac{x-\xi}{|x-\xi|^2} d\xi \\ &= \lim_{n \rightarrow \infty} \frac{1}{2\pi} \iint_{R^2} \vec{\omega}_i \wedge \frac{x-\xi}{|x-\xi|^2} d\xi \\ &= \frac{1}{2\pi} \lim_{n \rightarrow \infty} \left\{ \iint_{R^2} \vec{\omega}_i d\xi \right\} \wedge \left\{ \frac{x-\xi}{|x-\xi|^2} \right\}_{n=0} \\ &= \frac{1}{2\pi} r \vec{\theta} \wedge \frac{\vec{x}}{|x|^2} = \frac{r}{2\pi r} \vec{\varphi}\end{aligned}$$

Donc

$$\boxed{\vec{\omega}(M) = \frac{r}{2\pi r} \vec{\varphi}}$$

### ③ Rotation d'une colonne de fluide :

a) disque de vorticité



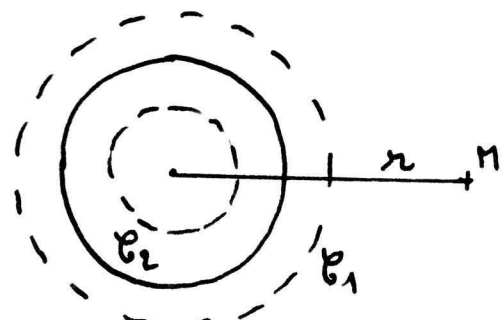
Coordonnées polaires  $(r, \theta)$   
et vecteurs  $(\vec{r}, \vec{\theta})$

+ Circulation et théo de Stokes:

$$\text{symétries} \Rightarrow \vec{v} = v(r) \vec{\theta}$$

$$\text{si } r > R: C = \iint_{B_1} \vec{v} \cdot d\vec{l} = \iint \vec{\omega} \cdot d\vec{s} = (2\Omega) \pi R^2$$

$$= r 2\pi r \quad \text{d'où } v = \frac{\Omega R^2}{r}$$



$$\text{si } r < R: C = \iint_{B_2} \vec{v} \cdot d\vec{l} = \iint \vec{\omega} \cdot d\vec{s} = 2\Omega \pi r^2$$

$$= r 2\pi r \quad \text{d'où } v = \Omega r$$

D'où:

$$\boxed{\begin{aligned}v &= \frac{\Omega R^2}{r} \text{ si } r > R \\ &= \Omega r \text{ si } r < R\end{aligned}}$$

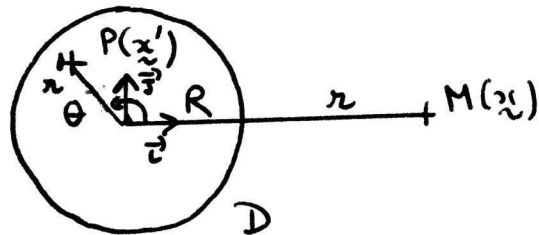
$$\boxed{\vec{v} = v(r) \vec{\theta}}$$

+ Biot et Savart :

$$\vec{v}(x) = \frac{1}{2\pi} \int_D \vec{\omega} \wedge \frac{x-x'}{|x-x'|^2} dS$$

$$= \frac{1}{\pi} \Omega \vec{\beta} \wedge \int_D \frac{x-x'}{|x-x'|^2} dS$$

$$\begin{aligned} \vec{x} &= \begin{pmatrix} r \\ 0 \\ \vec{i}, \vec{j} \end{pmatrix} & \vec{x}' &= \begin{pmatrix} r' \cos \theta \\ r' \sin \theta \\ \vec{i}, \vec{j} \end{pmatrix} \end{aligned}$$



$$x-x' = \begin{pmatrix} r-r' \cos \theta \\ -r' \sin \theta \\ \vec{i}, \vec{j} \end{pmatrix}$$

$$\begin{aligned} |x-x'|^2 &= (x-x') \cdot (x-x') \\ &= (r-r' \cos \theta)^2 + r' \sin \theta \\ &= r^2 + r'^2 - 2rr' \cos \theta = d \end{aligned}$$

$$\frac{x+x'}{|x+x'|^2} = \begin{pmatrix} \frac{r-r' \cos \theta}{d} \\ -\frac{r' \sin \theta}{d} \\ \vec{i}, \vec{j} \end{pmatrix} \quad \text{Or} \quad \int_D -\frac{r' \sin \theta}{d} dS = 0 \text{ car } -\frac{r' \sin \theta}{d} \text{ est impaire d'où :}$$

$$\vec{\beta} \wedge \int_D \frac{x-x'}{|x-x'|^2} dS = (\vec{\beta} \wedge \vec{i}) \int_D \frac{x-x' \cos \theta}{d} dS$$

$$\text{D'où } \vec{v}(x) = \vec{\Theta} \frac{\Omega}{\pi} \int_D \frac{r-r' \cos \theta}{d} dS = v \vec{\Theta}$$

$$v = \frac{\Omega}{\pi} \iint_0^{\pi} \frac{r-r' \cos \theta}{d} r' dr' d\theta = \frac{\Omega R}{\pi} \int_0^{\pi} \int_0^1 \frac{\tilde{x}-\tilde{x}' \cos \theta}{\tilde{x}'} \tilde{x}' d\tilde{x}' d\theta$$

$$\text{où on a posé } \tilde{d} = \tilde{x}^2 + \tilde{x}'^2 - 2\tilde{x}\tilde{x}' \cos \theta$$

$$\text{et } \tilde{x} = x/R$$

$$v = \frac{\Omega R}{\pi} \int_0^1 dr' \int_0^{\pi} \frac{\tilde{x}' - \cos \theta}{\tilde{x}'^2 + 1 - 2\tilde{x}' \cos \theta} d\theta \quad \text{où } \tilde{x}' = \tilde{x}/r'$$

$$\text{Or } \int_0^{\pi} \frac{\tilde{x}' - \cos \theta}{\tilde{x}'^2 + 1 - 2\tilde{x}' \cos \theta} d\theta = 0 \text{ si } \tilde{x}' < 1 \text{ car si } \tilde{x} < x'$$

$$= + \frac{2\pi}{\tilde{x}'} \text{ si } \tilde{x}' > 1 \text{ car si } \tilde{x} > x'$$

Si  $r > R$ :

$$\begin{aligned} \text{on a } \tilde{r} > 1, \text{ donc } \tilde{r} > 1 > r' \text{ et alors } v = \frac{\Omega R}{\pi} \int_0^1 \frac{2\pi}{\tilde{r}} dr' \\ &= \frac{\Omega R}{\pi} \int_0^1 \frac{2\pi r' dr'}{\tilde{r}} = \left( \frac{2\pi R}{\tilde{r}} \frac{1}{2} \right) \frac{\Omega R}{\pi} \\ &= \left( \frac{\pi R}{\tilde{r}} \right) \frac{\Omega R}{\pi} = \frac{\Omega R^2}{\tilde{r}} \end{aligned}$$

Si  $r < R$ :

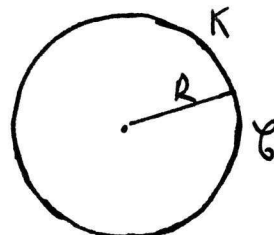
on a  $\tilde{r} < 1$ , alors

$$\begin{aligned} v &= \frac{\Omega R}{\pi} \left( \int_0^{\tilde{r}} dr' \frac{2\pi}{\tilde{r}'} + \int_{\tilde{r}}^1 dr' \times 0 \right) = \frac{\Omega R}{\pi} \left( \int_0^{\tilde{r}} r' dr' \right) \frac{2\pi}{\tilde{r}} \\ &= \frac{\Omega R}{\pi} \frac{2\pi}{\tilde{r}} \frac{\tilde{r}^2}{2} = \frac{\Omega R}{\pi} (\pi \tilde{r}) = \Omega r \end{aligned}$$

d'où

$$\boxed{\begin{aligned} \vec{v} &= \frac{\Omega R^2}{\tilde{r}} \vec{\theta} \quad \text{si } r > R \\ &= \Omega r \vec{\theta} \quad \text{si } r < R \end{aligned}}$$

b) nappe circulaire de vorticité:



$$\vec{\omega} = K \delta_\varphi \vec{z}$$

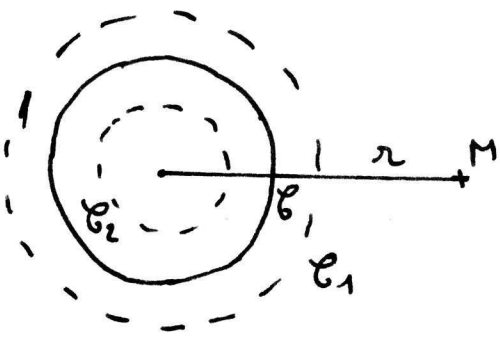
+ Circulation et Théorème de Stokes: symétries  $\Rightarrow \vec{v} = v(z) \vec{\theta}$

si  $r > R$ :

$$\begin{aligned} \Gamma &= \oint_{C_1} \vec{v} \cdot d\vec{l} = \iint_{D_1} \vec{\omega} \cdot \vec{ds} = \int_0^R K dz \\ &= K 2\pi R \end{aligned}$$

$$= v 2\pi r$$

$$\text{d'où } v = \frac{K R}{r}$$



si  $r < R$  :

$$\int_{C_2} \vec{v} \cdot d\vec{l} = \iint_{D_2} \vec{\omega} \cdot d\vec{s} = 0$$

d'où  $v = 0$

$$= 2\pi r v$$

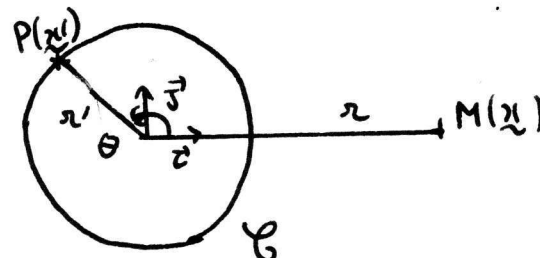
D'où

$v = \frac{\kappa B}{r}$ si $r > R$ $= 0$ si $r < R$
---

$$\vec{v} = v(r) \vec{\theta}$$

+ Biot et Savart :

$$\vec{v}(x) = \frac{1}{2\pi} \iint_{R^2} \vec{\omega} \wedge \frac{x - x'}{|x - x'|^2} ds$$



$$= \frac{\kappa}{2\pi} \vec{z} \wedge \iint_C \frac{x - x'}{|x - x'|^2} ds$$

$$= \frac{\kappa R}{2\pi} \vec{z} \wedge \int_0^{2\pi} \frac{x - x'}{|x - x'|^2} d\theta \cos ds = R d\theta$$

or  $\int_0^{2\pi} -\frac{x' \sin \theta}{d} d\theta = 0$  car  $x' \sin \theta$  est impaire d'où

$$\vec{z} \wedge \int_0^{2\pi} \frac{x - x'}{|x - x'|^2} d\theta = (\vec{z} \wedge \vec{c}) \int_0^{2\pi} \frac{x - x' \cos \theta}{d} d\theta$$

D'où  $\vec{v}(x) = \vec{\theta} \frac{\kappa R}{2\pi} \int_0^{2\pi} \frac{x - x' \cos \theta}{d} d\theta = v \vec{\theta}$

$$v = \frac{\kappa R}{2\pi} \int_0^{2\pi} \frac{x - x' \cos \theta}{d} d\theta = \left(\frac{\kappa R}{2\pi}\right) \frac{1}{R} \int_0^{2\pi} \frac{x - x' \cos \theta}{d} d\theta \quad \text{en } x' = 1$$

$$\text{ou } \tilde{d} = \tilde{x}^2 + x'^2 - 2\tilde{x} x' \cos \theta$$

$$\text{et } \tilde{x} = x/R$$

$$= \left(\frac{\kappa R}{2\pi}\right) \int_0^{2\pi} \frac{\tilde{x} - \cos \theta}{\tilde{x}^2 + 1 - 2\tilde{x} \cos \theta} d\theta$$

D'où :

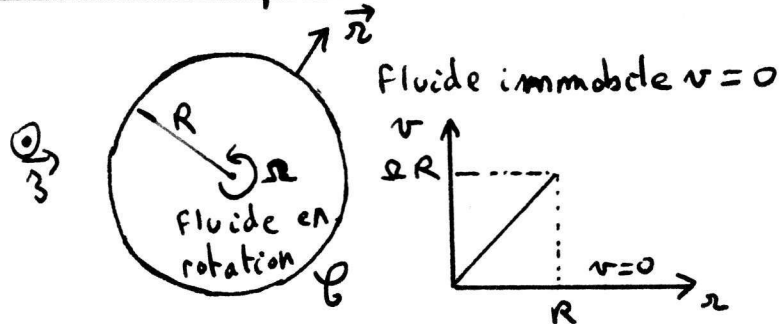
$$v = \left(\frac{KR}{2\pi}\right) 2 \left[ \frac{\pi}{1-\tilde{x}^2} - \frac{\pi \tilde{x}}{1-\tilde{x}^2} \right] = 0 \text{ si } \tilde{x} < 1$$

$$= \left(\frac{KR}{2\pi}\right) 2 \left[ \frac{\pi}{(\tilde{x}^2-1)\tilde{x}} - \frac{\pi}{(\tilde{x}^2-1)\tilde{x}} \right] = \left(\frac{KR}{2\pi}\right) \frac{2\pi}{\tilde{x}} \text{ si } \tilde{x} > 1$$

Il vient donc :

$$\boxed{\vec{v} = \frac{KR\vec{\theta}}{r} \text{ si } r > R}$$
$$= 0 \quad \text{si } r < R$$

c) Rotation d'une colonne de fluide:



- champ de vorticité:

$$r < R : \vec{\omega} = \text{rot } \vec{v} = \frac{1}{r} \frac{d(rv)}{dr} \vec{z} = 2\Omega \vec{z}$$

$$r > R : \vec{\omega} = \text{rot } \vec{v} = 0$$

$$r = R : \text{on utilise } \text{rot } T_{\vec{v}} = T_{\text{rot } \vec{v}} + \vec{r} \wedge [\vec{v}] \delta\varphi$$
$$[\vec{v}] = 0 - \Omega R \vec{z}$$

d'où:

$$\boxed{\vec{\omega} = -\Omega R \vec{z}}$$

Sur C il y a une nappe tourbillon d'intensité  $K = -\Omega R$

- théorème de Stokes: on somme les résultats de a et b avec  $K = -\Omega R$

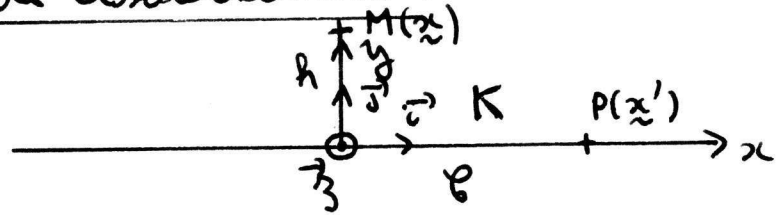
$$\text{On obtient : } \vec{v} = \frac{\Omega R^2 \vec{z}}{r} - \frac{\Omega R^2 \vec{z}}{r} = 0 \text{ si } r > R$$
$$= \Omega r \vec{z} + 0 = \Omega r \vec{z} \text{ si } r < R$$

D'où

$$\boxed{\vec{v} = 0 \text{ si } r > R}$$
$$= \Omega r \vec{z} \text{ si } r < R$$

- Biot et Savart: même chose que ci-dessus.

#### ④ Couche de cisaillement :



$$\vec{\omega} = \kappa \delta_y \vec{z}$$

Remarque: on ne peut plus utiliser le théorème de Stokes

Ecrivons Biot et Savart :

$$\vec{v}(x) = \frac{1}{2\pi} \iint_{R^2} \vec{\omega} \wedge \frac{x - x'}{|x - x'|^2} dS$$

$$= \frac{\kappa}{2\pi} \vec{z} \wedge \int_C \frac{x - x'}{|x - x'|^2} ds$$

$$\begin{aligned} x &= \begin{vmatrix} 0 \\ h \\ \vec{z} \end{vmatrix} & x' &= \begin{vmatrix} x' \\ 0 \\ \vec{z} \end{vmatrix} & x - x' &= \begin{vmatrix} -x' \\ h \\ \vec{z} \end{vmatrix} & |x - x'|^2 &= x'^2 + h^2 \end{aligned}$$

$$\frac{x - x'}{|x - x'|^2} = \begin{vmatrix} -x' \\ x'^2 + h^2 \\ \vec{z} \end{vmatrix} \quad \text{et} \quad \int_C \frac{-x'}{x'^2 + h^2} ds = \int_{-\infty}^{+\infty} \frac{-x'}{x'^2 + h^2} dx' = 0 \quad \text{car} \\ \frac{-x'}{x'^2 + h^2} \text{ est impaire.}$$

$$\text{D'où } \vec{v}(x) = \frac{\kappa}{2\pi} \vec{z} \wedge \int_{-\infty}^{+\infty} \frac{h}{x'^2 + h^2} dx' = -\frac{\kappa}{2\pi} \vec{z} \int_{-\infty}^{+\infty} \frac{h}{x'^2 + h^2} dx'$$

$$\vec{v}(x) = v \vec{z}$$

$$\begin{aligned} v &= -\frac{\kappa}{2\pi} \int_{-\infty}^{+\infty} \frac{h}{x'^2 + h^2} dx' = -\frac{\kappa}{2\pi} 2h \int_0^{+\infty} \frac{dx'}{x'^2 + h^2} \\ &= -\frac{\kappa}{\pi} \operatorname{sgn}(h) \int_0^{+\infty} \frac{dx'}{x'^2 + 1} = -\frac{\kappa}{\pi} \operatorname{sgn}(h) [\operatorname{Arctg} x']_0^{+\infty} = -\frac{\kappa}{\pi} \operatorname{sgn}(h) \left(\frac{\pi}{2}\right) \end{aligned}$$

$$= -\frac{\kappa}{2} \operatorname{sgn}(h)$$

où  $\operatorname{sgn}$  est la fonction signe

D'où

$$\boxed{\begin{aligned} \vec{v} &= -\frac{\kappa}{2} \vec{z} \text{ si } h > 0 \\ &= \frac{\kappa}{2} \vec{z} \text{ si } h < 0 \end{aligned}}$$

$$\overleftarrow{\vec{z}} \quad -\frac{\kappa}{2} \vec{z} \quad \overrightarrow{\vec{z}} \quad \frac{\kappa}{2} \vec{z}$$

Remarque: L'écoulement suivant :

$$\vec{v} = 0$$

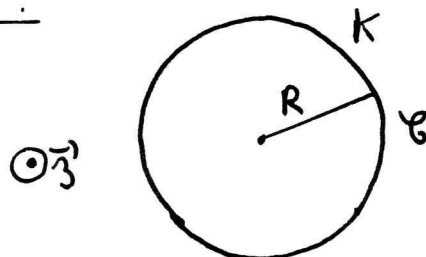
$$\vec{v} = v_1 \vec{e}$$

est donc une nappe de vorticité d'intensité  $\kappa = v_1$ , dans un écoulement de background (potentiel) :  $\vec{v}_b = \frac{v_1}{2} \vec{r}$

$$\vec{v} = -\frac{v_1}{2} \vec{r} + \frac{v_1}{2} \vec{e} = 0 \text{ si } h > 0$$

$$= \frac{v_1}{2} \vec{e} + \frac{v_1}{2} \vec{e} = v_1 \vec{e} \text{ si } h < 0$$

## ⑤ Jet circulaire :



coordonnées polaires  $(r, \theta)$   
vecteurs associés  $(\vec{r}, \vec{\theta})$   
 $\vec{\omega} = \kappa \delta_{\varphi} \vec{\theta}$

symétries  $\Rightarrow \vec{v}$  est nul sur  $\vec{z}$ ; on ne peut plus utiliser le Théorème de Stokes.

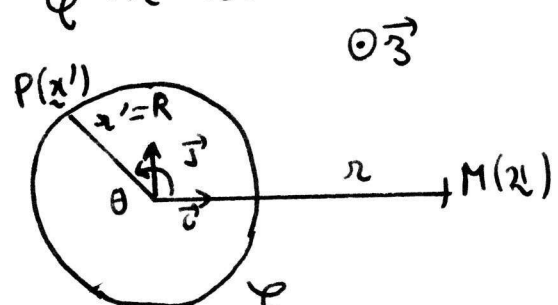
Ecrivons Biot et Savart :

$$v(\vec{x}) = \frac{1}{2\pi} \iint_{B(0,R)} \vec{\omega} \wedge \frac{\vec{x} - \vec{x}'}{|x - x'|^2} dS = \frac{\kappa}{2\pi} \int_0^{2\pi} \frac{\vec{\theta} \wedge (x - x')}{|x - x'|^2} d\theta$$

$$\frac{\vec{x} - \vec{x}'}{|x - x'|^2} = \begin{vmatrix} \frac{r - R \cos \theta}{d} & -r \sin \theta \\ -R \sin \theta & \frac{r + R \cos \theta}{d} \end{vmatrix}$$

$$\text{où } d = r^2 + R^2 - 2rR \cos \theta$$

$$\text{D'où } \vec{\theta} \wedge \frac{\vec{x} - \vec{x}'}{|x - x'|^2} = -\frac{(r - R \cos \theta) \cos \theta - R \sin^2 \theta \vec{z}}{d} - \frac{r \cos \theta - R}{d} \vec{z}$$



$$v(\vec{x}) = \frac{\kappa}{2\pi} \int_0^{2\pi} \left[ -R \frac{(r \cos \theta - R)}{d} \right] d\theta = \frac{\kappa}{2\pi} \int_0^{2\pi} \frac{\hat{r} \cos \theta - 1}{\hat{r}^2 + 1 - 2\hat{r} \cos \theta} d\theta \text{ où } \hat{r} = \frac{r}{R}$$

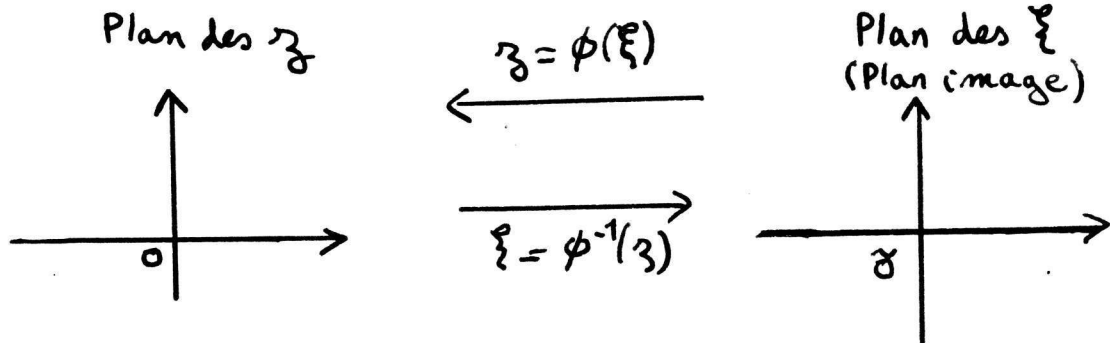
$$= -\frac{\kappa}{2\pi} \int_0^{2\pi} 2 \left( \frac{\hat{r} \pi \hat{r}}{1 - \hat{r}^2} - \frac{\pi}{1 - \hat{r}^2} \right) d\theta = -\vec{z} \kappa (-1) = \kappa \vec{z} \text{ si } r < R$$

$$= -\vec{z} \frac{\kappa}{2\pi} \int_0^{2\pi} 2 \left( \frac{\hat{r} \pi}{(\hat{r}^2 - 1) \hat{r}} - \frac{\pi}{\hat{r}^2 - 1} \right) d\theta = 0 \text{ si } r > R$$

$\vec{v} = 0 \text{ si } r > R$
$= \kappa \vec{z} \text{ si } r < R$

## Chapitre 2

### I Transformations Conformes

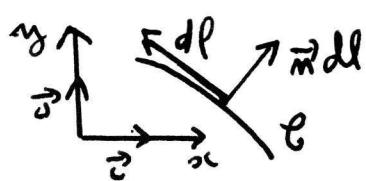


$f(z)$  = potentiel complexe de l'écoulement  
 $w = u - i v = f'$   
 = vitesse complexe  
 $z = x + iy$

$\tilde{f}(\xi) = f(\phi(\xi))$   
 = potentiel complexe de l'écoulement image.  
 $\tilde{w} = \tilde{u} - i \tilde{v} = \tilde{f}'$   
 = vitesse complexe

①

• Expression de  $\Gamma + iQ$  dans  $P_3$ :



$$\Gamma = \int_C \vec{v} \cdot d\vec{l} = \int_C v dx + w dy$$

$$d\vec{l} = \begin{vmatrix} dx \\ dy \end{vmatrix}_{z, \bar{z}}$$

$$\vec{m} dl = d\vec{l} \wedge \begin{vmatrix} 0 & 1 \\ 1 & 0 \end{vmatrix}_{\bar{z}, \bar{z}, \bar{R}} = \begin{vmatrix} dy \\ -dx \end{vmatrix}_0 = -i(dx + idy)$$

$$\vec{v} = \begin{vmatrix} u \\ v \end{vmatrix}_{z, \bar{z}}, \quad dz = dx + idy$$

$$Q = \int_C \vec{v} \cdot \vec{m} dl = \int_C v dy - w dx$$

D'où  $\Gamma + iQ = \int_C (v - iw) dz = \int_C w(z) dz$

• Expression de  $\Gamma + iQ$  dans  $P_\xi$ :

$$\Gamma + iQ = \int_{\mathcal{C}} f' dz = \int_{\mathcal{C}} \tilde{f}' d\xi = \tilde{\Gamma} + i \tilde{Q} \text{ car } \frac{df}{dz} = \frac{d\tilde{f}}{d\xi} \frac{d\xi}{dz}$$

$$\boxed{\Gamma + iQ = \tilde{\Gamma} + i\tilde{Q}}$$

② Transformation de la force:

$$\begin{aligned} F_x - iF_y &= \frac{i\rho}{2} \int_{\mathcal{C}} [f'(z)]^2 dz \\ &= \frac{i\rho}{2} \int_{\tilde{\mathcal{C}}} [\tilde{f}'(\xi)]^2 \left(\frac{d\xi}{dz}\right)^2 \frac{dz}{d\xi} d\xi \end{aligned}$$

$$\boxed{F_x - iF_y = \frac{i\rho}{2} \int_{\mathcal{C}} [\tilde{f}'(\xi)]^2 \frac{d\xi}{\phi'(\xi)} \neq \tilde{F}_x + i\tilde{F}_y}$$

③ Point singulier en  $z_0$ :

$$f(z) = \sum_{n=-\infty}^{+\infty} a_n (z-z_0)^n$$

$$\begin{aligned} \text{Si } z \text{ est proche de } z_0, \text{ on a: } z-z_0 &= \phi(\xi) - \phi(\xi_0) = \frac{\phi(\xi) - \phi(\xi_0)}{\xi - \xi_0} (\xi - \xi_0) \\ &\simeq \phi'(\xi_0) (\xi - \xi_0) \text{ avec } \phi'(\xi_0) \neq 0 \end{aligned}$$

$$\text{et donc } \tilde{f}(\xi) \simeq \sum_{n=-\infty}^{+\infty} a_n [\phi'(\xi_0)]^n (\xi - \xi_0)^n \text{ pour } \xi \text{ proche de } \xi_0$$

Exemple: Source-tourbillon d'intensité complexe I

$$f(z) = \frac{I}{2\pi} \log(z-z_0)$$

$$\text{On a } \tilde{f}(\xi) = \frac{I}{2\pi} \log(\xi - \xi_0) + \frac{I}{2\pi} \log \phi'(\xi_0) \text{ pour } \xi \text{ proche de } \xi_0$$

La source tourbillon est transformée en une source tourbillon de même intensité.

#### ④ Densité d'énergie:

$$E = \iint_{\Omega} |f'(z)|^2 dx dy .$$

$$\begin{aligned} z = x + iy &= \phi(\xi) = \phi(\tilde{x} + i\tilde{y}) \\ &= P(\tilde{x}, \tilde{y}) + iQ(\tilde{x}, \tilde{y}) \end{aligned}$$

$$dx dy = J d\tilde{x} d\tilde{y}$$

$$\begin{aligned} \text{où } J &= \begin{vmatrix} \frac{\partial x}{\partial \tilde{x}} & \frac{\partial x}{\partial \tilde{y}} \\ \frac{\partial y}{\partial \tilde{x}} & \frac{\partial y}{\partial \tilde{y}} \end{vmatrix} = \begin{vmatrix} \frac{\partial P}{\partial \tilde{x}} & \frac{\partial P}{\partial \tilde{y}} \\ \frac{\partial Q}{\partial \tilde{x}} & \frac{\partial Q}{\partial \tilde{y}} \end{vmatrix} \\ &= \begin{vmatrix} \alpha - \beta \\ \beta \alpha \end{vmatrix} = \alpha^2 + \beta^2 \text{ car } \phi \text{ est holomorphe} \\ &= |\phi'(\xi)|^2 \text{ car } \phi'(\xi) = \alpha + i\beta . \end{aligned}$$

$$\text{On a donc } dE = dx dy = |\phi'(\xi)|^2 d\tilde{x} d\tilde{y} = \left| \frac{dz}{d\xi} \right|^2 d\tilde{x} d\tilde{y}$$

$$\begin{aligned} \text{D'où } E &= \iint_{\tilde{\Omega}} |\tilde{f}'(\xi)|^2 \left| \frac{d\xi}{dz} \right|^2 \left| \frac{dz}{d\xi} \right|^2 d\tilde{x} d\tilde{y} \\ &= \iint_{\tilde{\Omega}} |\tilde{f}'(\xi)|^2 d\tilde{x} d\tilde{y} = \tilde{E} \end{aligned}$$

$$\boxed{E = \tilde{E}}$$

#### II Recherche d'écoulements - Forces:

Soit  $f$  un potentiel complexe d'écoulement

##### ① Théorème des images:

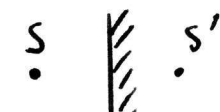
$$\text{Soit } f(z) = f_1(z) + \overline{f_1(\bar{z})}$$

Si  $z = x \in \mathbb{R}$ , on a  $f(z) = f(x) = f_1(x) + \overline{f_1(x)} \in \mathbb{R}$   
 , d'où  $f(x) = \Psi + i\Phi \in \mathbb{R}$  et donc  $\Psi = 0$

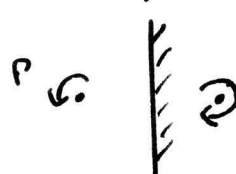
Pour l'écoulement de potentiel complexe  $f(z)$ ,  
l'axe des réels est une ligne de courant.

### Exemples d'application:

- écoulement source plan



- écoulement tourbillon plan



### ② Théorème du cercle:

Soit  $\mathcal{C}(0, a)$  un cercle de rayon  $a$  centre en 0.

Soit  $f(z) = f_1(z) + \overline{f_1\left(\frac{a^2}{z}\right)}$  un potentiel d'écoulement

construit à partir de  $f_1$ .

Si  $z = a e^{i\theta}$ ,  $z$  est sur  $\mathcal{C}$  et on a :

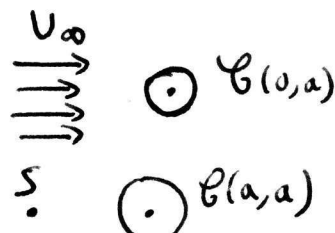
$$\begin{aligned} f(z) &= f(a e^{i\theta}) = f_1(a e^{i\theta}) + \overline{f_1\left(\frac{a^2}{a e^{i\theta}}\right)} \\ &= f_1(a e^{i\theta}) + \overline{f_1(a e^{i\theta})} \in \mathbb{R}. \end{aligned}$$

$$\begin{aligned} \text{d'où } f(z) &= \varphi + i\Psi \in \mathbb{R} \text{ pour } z \in \mathcal{C} \\ \Psi &= 0 \quad \text{pour } z \in \mathcal{C} \end{aligned}$$

Pour l'écoulement de potentiel complexe  $f(z)$ ,  
le cercle  $\mathcal{C}(0, a)$  est une ligne de courant.

### Exemples d'application:

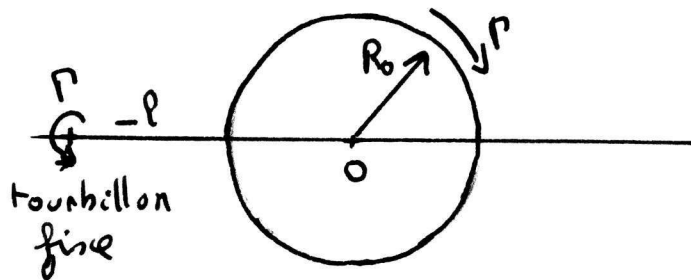
- écoulement uniforme + disque :



- écoulement source - disque



### ③ Écoulement tourbillon-disque :



On prend  $f_1(z) = -\frac{r_i}{2\pi} \log(z - z_0)$  avec  $z_0 = -l$

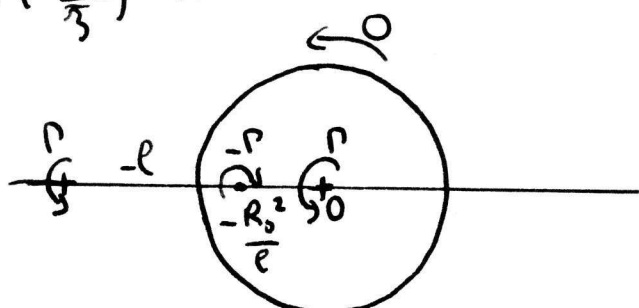
C'est un tourbillon situé en  $-l$

$$\begin{aligned} \overline{f_1\left(\frac{R_0^2}{z}\right)} &= \frac{r_i}{2\pi} \overline{\log\left(\frac{R_0^2}{z} + l\right)} \\ &= \frac{r_i}{2\pi} \log\left(\frac{R_0^2}{z} + l\right) \text{ car } \overline{\log a} = \log \bar{a} \\ &= \frac{r_i}{2\pi} \log(R_0^2 + l_z) - \frac{r_i}{2\pi} \log z \\ &= \frac{r_i}{2\pi} \log\left(z + \frac{R_0^2}{l}\right) - \frac{r_i}{2\pi} \log z \end{aligned}$$

où on a puéné tomber la constante  $\frac{r_i}{2\pi} \log l$  car

un potentiel est défini à une constante près.

$\tilde{f} = f_1 + \overline{f_1\left(\frac{R_0^2}{z}\right)}$  et l'écoulement suivant :



Si on rajoute un tourbillon d'intensité quelconque en  $\mathcal{O}$ , le fait que  $C(0, R_0)$  soit une ligne de courant est conservé. On obtient la circulation désirée autour du disque en rajoutant le tourbillon de potentiel  $\frac{r_i}{2\pi} \log z$  à l'écoulement

précédent.

L'écoulement recherché a donc pour potentiel :

$$f(z) = -\frac{\rho i}{2\pi} \log(z+\ell) + \frac{\rho i}{2\pi} \log\left(z + \frac{R_0^2}{\ell}\right)$$

#### ④ Force par Blasius :

Soit  $z_0 = -\ell$  et  $z_0' = -\frac{R_0^2}{\ell}$  la position des deux tourbillons de l'écoulement précédent

$$\text{Im } z_0 \bar{z}_0 = R_0^2.$$

On utilise la formule de Blasius :

$$\begin{aligned} F_x - iF_y &= \frac{i\ell}{2} \int_{-\ell}^{z_0'} [f'(z)]^2 dz \\ &= \left(\frac{i\rho}{2}\right) 2i\pi \text{ Résidu}(f', z_0') \end{aligned}$$

$$\text{Or } f'(z) = -\frac{i\rho}{2\pi} \left( \frac{1}{z-z_0} - \frac{1}{z-z_0'} \right)$$

$$[f'(z)]^2 = -\left(\frac{\rho}{2\pi}\right)^2 \left[ \frac{1}{(z-z_0)^2} + \frac{1}{(z-z_0')^2} - \frac{2}{(z-z_0)(z-z_0')} \right]$$

$$\begin{aligned} \text{Résidu} &= \left. \frac{\partial (f')^2 (z-z_0)^2}{\partial z} \right|_{z_0'} = -\left(\frac{\rho}{2\pi}\right)^2 \left[ \frac{2 \left[\frac{(z-z_0')}{(z-z_0)}\right]^2}{z-z_0} - 2 \frac{\left[\frac{(z-z_0')}{z-z_0}\right]}{z-z_0} \right] \text{ en } z_0' \\ &= -2\left(\frac{\rho}{2\pi}\right)^2 \frac{z_0' - z_0}{(z_0' - z_0)^2} = 2\left(\frac{\rho}{2\pi}\right)^2 \frac{1}{z_0' - z_0} \end{aligned}$$

$$\text{D'où } F_x - iF_y = -\frac{\rho \ell^2}{2\pi} \frac{1}{z_0' - z_0} = -\frac{\rho \ell^2}{2\pi} \frac{\bar{z}_0}{R_0^2 - |z_0'|^2} = -\frac{\rho \ell^2}{2\pi} \frac{\ell}{\ell^2 - R_0^2} < 0$$

$$F_x - iF_y = -\frac{\rho r^2}{2\pi} \frac{r}{r^2 - R_0^2} < 0$$

Le tourbillon exerce donc une force attractive sur le disque.

### ⑤ Force par Kutta - Joukovsky :

C'est l'action du tourbillon en  $z_0$  sur celui en  $z_0'$

$$\vec{F} = F_x + iF_y = -i\rho(r-l) \left(\frac{\lambda f}{dz}\right)_{z_0} = \rho r \begin{pmatrix} 0 \\ 1 \end{pmatrix} \wedge \vec{v}_{z_0}$$

$$\left(\frac{\lambda f}{dz}\right)_{z_0}$$

Fonction de courant  $\psi$  créé par le tourbillon en  $z_0$ :

$$\begin{aligned} \Psi &= \text{Im} \left[ -\frac{i r}{2\pi} \log(z - z_0) \right] = -\frac{r}{4\pi} \log |z - z_0|^2 \\ &= -\frac{r}{4\pi} \log ((x+l)^2 + y^2) \end{aligned}$$

vitesse en  $z_0'$  associée:

$$\left(\frac{\lambda f}{dz}\right)_{z_0} = \vec{v}_{z_0} = \begin{pmatrix} \frac{\partial \Psi}{\partial y} \\ -\frac{\partial \Psi}{\partial x} \end{pmatrix}_{(x, y)}$$

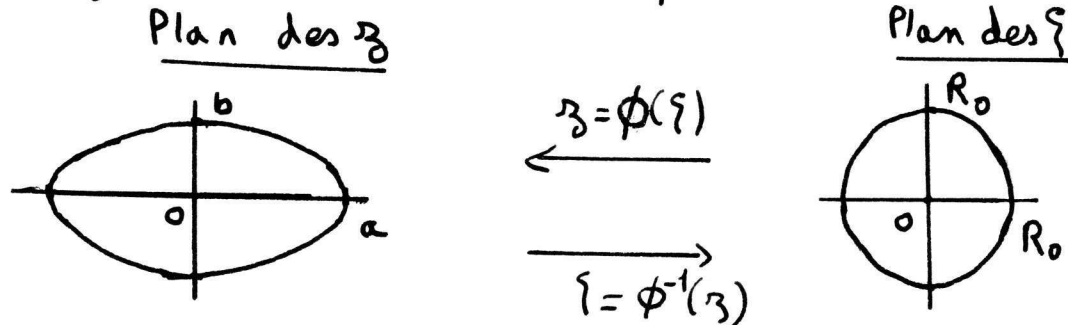
en  $z_0'$

$$\text{D'où } \vec{F} = \rho r \vec{\text{grad}} \Psi \Big|_{z_0'} = -\frac{\rho r^2}{4\pi} \begin{cases} \frac{2(x+l)}{(x+l)^2 + y^2} & \text{en } x = -\frac{R_0^2}{l} \\ \frac{2y}{(x+l)^2 + y^2} & y = 0 \end{cases}$$

$$\text{D'où } \boxed{\vec{F} = F \vec{e}_z} \text{ avec } F = -\frac{\rho r^2}{2\pi} \left[ \frac{-R_0^2/l + l}{(-R_0^2/l + l + R_0^2)^2} \right] = -\frac{\rho r^2}{2\pi} \frac{l}{l^2 - R_0^2} < 0$$

## Chapitre 3

### I. Transformée conforme et ellipse :



Soit  $\xi$  sur le cercle  $\mathcal{C}(0, R_0)$  :  $\xi = R_0 e^{i\theta}$

$$\text{On a } z = \phi(\xi) = A\xi + \frac{B}{\xi} = AR_0 e^{i\theta} + \frac{B}{R_0} e^{-i\theta}$$

Posons  $z = x + iy$ ; il vient alors :

$$\begin{cases} x = \left( AR_0 + \frac{B}{R_0} \right) \cos \theta \\ y = \left( AR_0 - \frac{B}{R_0} \right) \sin \theta \end{cases}$$

On reconnaît l'équation paramétrée d'une ellipse.

D'où  $\begin{cases} a = AR_0 + \frac{B}{R_0} \\ b = AR_0 - \frac{B}{R_0} \end{cases}$  qui donne

$$A = \frac{a+b}{2R_0}$$

$$B = \frac{a-b}{2} R_0$$

Points singuliers:

$$\phi'(\xi) = A - \frac{B}{\xi^2} = 0 \text{ d'où } \xi^2 = \frac{B}{A} = \frac{a-b}{a+b} R_0^2$$

Les points singuliers sont donc  $\xi = \pm \sqrt{\frac{a-b}{a+b}} R_0$

$$z^2 = (A\xi + \frac{B}{\xi})^2 = \frac{(A\xi^2 + B)^2}{\xi^2} = \frac{4B^2}{B} A = 4AB = a^2 - b^2$$

$$b^2 = A - e^2 a^2 \quad e = \frac{c}{a} \Rightarrow$$

$$z = \pm \sqrt{a^2 - b^2} \quad z = \pm c \text{ foyer.}$$

## II La Formule de Joukowsky :

$\frac{df}{dz}$  est développable en série de Laurent en  $z=0$  d'où :

$$\boxed{\frac{df}{dz} = A_0 + \frac{A_1}{z} + \frac{A_2}{z^2} + \dots}$$

On a  $\left(\frac{df}{dz}\right)_\infty = \lim_{z \rightarrow \infty} \left(\frac{df}{dz}\right) = A_0$  d'où  $A_0 = \left(\frac{df}{dz}\right)_\infty$

De plus on sait que  $\Gamma = \oint \frac{df}{dz} dz$  ( $x(Q=0)$ )

Or  $\oint \frac{dz}{z} = 2i\pi$  et  $\oint \frac{dz}{z^n} = 0$ , d'où  $A_1 = \frac{\Gamma}{2i\pi}$

Appliquons la formule de Blasius :

$$F_x - iF_y = \frac{i\Gamma}{2} \oint \left( \frac{df}{dz} \right)^2 dz = \frac{i\Gamma}{2} \oint \left( A_0 + \frac{A_1}{z} + \frac{A_2}{z^2} + \dots \right)^2 dz \\ = \frac{i\Gamma}{2} (2i\pi) (2A_0 A_1) = i\Gamma A_0 \Gamma$$

D'où  $F_x - iF_y = i\Gamma \Gamma \left( \frac{df}{dz} \right)_\infty = i\Gamma \Gamma V_\infty$  qui est la formule de Joukowsky.

## III Efforts sur une plaque plane :

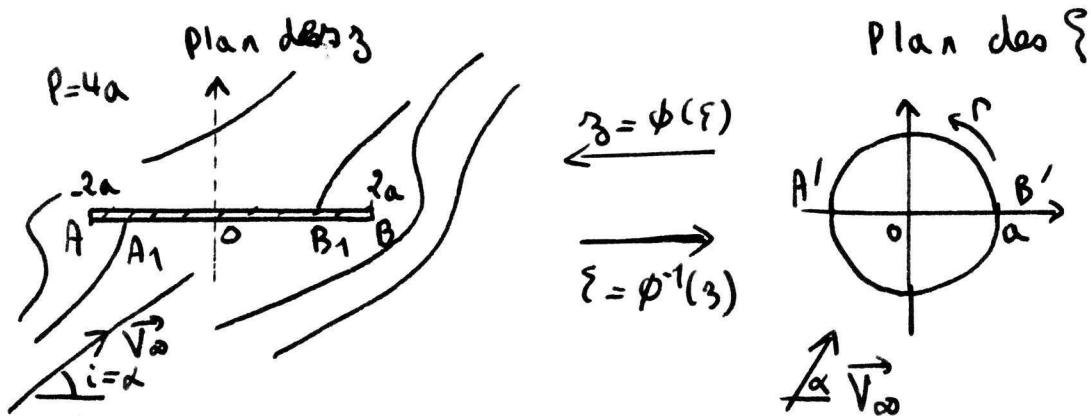
$$1) z = \phi(\xi) = \xi + \frac{a^2}{\xi} .$$

On remplace  $(a, b, R_0)$  par  $(2a, 0, a)$  dans l'exercice de l'ellipse I et on obtient bien

$$\begin{cases} A = \frac{2a}{\xi a} = 1 \\ B = \frac{2a}{2} a = a^2 \end{cases}$$

La transformée conforme  $\phi(\xi) = \xi + \frac{a^2}{\xi}$  transforme donc le cercle de rayon  $a$  en une plaque plane de longueur  $4a$ .

Points singuliers :  $z = \pm a$  notés A et B  
 $\xi = \pm a$  notés  $A'$  et  $B'$ .



Il y a conservation des angles et les lignes de courant sont transformées en lignes de courant sauf aux points singuliers.

2) Potentiel complexe  $\tilde{f}(\xi)$  de l'écoulement autour du cercle :

Lorsque l'écoulement arrive horizontalement (plan des  $\xi'$ ) :

$$\tilde{f}(\xi') = V_\infty (\xi' + \frac{a^2}{\xi'}) - \frac{i\Gamma}{2\pi} \log \xi' \quad (\text{avec le théorème du cercle})$$

On fait alors une rotation d'angle  $\alpha$  :  $\xi = \xi' e^{i\alpha}$

$$\begin{aligned} \tilde{f}(\xi) &= V_\infty \left( \xi e^{-i\alpha} + a^2 \frac{e^{i\alpha}}{\xi} \right) - \frac{i\Gamma}{2\pi} \log \xi \\ &= \left( V_\infty \xi + a^2 \frac{V_\infty}{\xi} \right) - \frac{i\Gamma}{2\pi} \log \xi \quad (\text{si } V_\infty := V_\infty e^{i\alpha}) \end{aligned}$$

## Remarque :

Quand  $\Sigma \rightarrow \infty$  on a  $r_3 = \phi(\Sigma) \sim \Sigma$  et donc  $\phi$  se comporte comme l'identité. La vitre en l'infini  $V_\infty$  a donc la même inclinaison  $\alpha$  dans le plan des  $\xi$  et des  $z$ .

### 3) Points d'arrêt :

Ils sont déterminés par  $\tilde{f}'(\xi) = 0$

$$f'(\xi) = V_\infty \left( e^{-i\alpha} - a^2 \frac{e^{i\alpha}}{\xi^2} \right) - \frac{iR}{2\pi} \frac{1}{\xi} = 0$$

Comme  $\Sigma$  est sur le cercle, on pose alors  $\xi = ae^{i\beta}$

Il vient alors :

$$V_\infty \left( e^{-i\alpha} - \frac{e^{i\alpha}}{e^{2i\beta}} \right) - \frac{iR}{2\pi a} \frac{1}{ae^{i\beta}} = 0$$

$$V_\infty \left( e^{-i\alpha} - e^{i(\alpha-2\beta)} \right) - \frac{iR}{2\pi a} e^{-i\beta} = 0$$

$$V_\infty \left( 1 - e^{i(\alpha-2\beta)} \right) - \frac{iR}{2\pi a} e^{i(\alpha-2\beta)} = 0$$

On annule la partie imaginaire.

$$-V_\infty \sin(2(\alpha-\beta)) - \frac{R}{2\pi a} \cos(\alpha-\beta) = 0$$

$$-\frac{R}{2\pi a} \cos(\alpha-\beta) = V_\infty 2 \sin(\alpha-\beta) \cos(\alpha-\beta)$$

D'où

$$\boxed{\sin(\beta-\alpha) = \frac{R}{4\pi a V_\infty}}$$

Rem : l'annulation de la partie réel donne la relation

Cette relation donne la position des points d'arrêts  $A'_1$  et  $B'_1$  dans  $P_\xi$  et donc celle de  $A_1$  et  $B_1$  dans  $P_z$  par application de  $\phi$ .

Condition pour avoir des points d'arrêts :  $\boxed{R < 4\pi a V_\infty}$

4) La condition de Joukovsky impose au point  $B_1$  d'être en  $\beta$  et donc au point  $B_1'$  d'être en  $\beta'$ .

On a donc  $\beta = 0$  ce qui donne  $\Gamma = -\sin \alpha \cdot 4\pi a V_\infty$  à l'aide de la relation précédente.

Cherchons alors la position de  $A_1$ :

$$\begin{aligned} \sin(\beta - \alpha) &= \sin(0 - \alpha) \Rightarrow \beta - \alpha = \pi - (-\alpha) = \pi + \alpha \\ &\Rightarrow \beta = \pi + 2\alpha \end{aligned}$$

$$A_1' = a e^{i(\pi+2\alpha)} = -a e^{2\alpha i}$$

$$\text{D'où } A_1 = -a e^{2\alpha i} - a e^{-2\alpha i} = -a(e^{2\alpha i} + e^{-2\alpha i})$$

$$= -2a \cos 2\alpha$$

$$A_1 = -2a \cos 2\alpha$$

5) Vitesse en tout point de l'espace:

$$f' = \frac{\hat{f}'}{\phi(\xi)} = \left[ V_\infty \left( e^{-i\alpha} - \frac{a^2 e^{i\alpha}}{\xi^2} \right) - \frac{i\Gamma}{2\pi} \frac{1}{\xi} \right] \frac{1}{\left( 1 - \frac{a^2}{\xi^2} \right)}$$

Vitesse sur la plaque: On pose alors  $\xi = a e^{iB}$

$$f' = V_\infty \left( e^{-i\alpha} - e^{i\alpha} e^{-i2B} \right) - \frac{i\Gamma}{2\pi} \frac{e^{-iB}}{a} = \frac{V_\infty (e^{i(B-\alpha)} - e^{-i(B-\alpha)}) - \frac{i\Gamma}{2\pi} \frac{1}{a}}{e^{iB} - e^{-iB}}$$

$$= V_\infty \frac{2 \sin(B-\alpha) - \frac{\Gamma}{2\pi} \frac{1}{a}}{2 \sin B} = (V_\infty 2 \sin(B-\alpha) + 2 \sin \alpha V_\infty) \frac{1}{2 \sin B}$$

$$= \frac{V_\infty}{\sin B} [\sin(B-\alpha) + \sin \alpha] = \frac{V_\infty}{\sin B} [\sin \beta \cos \alpha - \sin \alpha \cos \beta + \sin \alpha]$$

$$= V_\infty \left( \cos \alpha + \sin \alpha \left( \frac{1 - \cos \beta}{\sin \beta} \right) \right)$$

Il vient donc  $f' = V_\infty (\cos \alpha + \tan \frac{\beta}{2} \sin \alpha)$

où la plaque est paramétrée par  $\beta$  avec  $r_3 = a(e^{i\beta} + e^{-i\beta}) = 2a \cos \beta$

$$\beta = 2a \cos \beta$$

Remarquons que  $\frac{\cos(\alpha - \frac{\beta}{2})}{\cos \frac{\beta}{2}} = \frac{\cos \alpha \cos \frac{\beta}{2} + \sin \alpha \sin \frac{\beta}{2}}{\cos \frac{\beta}{2}}$   
 $= \cos \alpha + \tan \frac{\beta}{2} \sin \alpha$

d'où  $f' = V_\infty \frac{\cos(\alpha - \frac{\beta}{2})}{\cos \frac{\beta}{2}}$

En B:  $\beta = 0$  d'où  $f' = V_\infty \cos \alpha \neq 0$  ~~B~~

En A:  $\beta = \pi$  d'où  $f' = +\infty$

## 6) Force exercée sur la plaque:

On utilise la formule de Joukowsky:

$$F_x - iF_y = i\rho r V_\infty = i\rho r V_\infty e^{i\alpha}$$

$$\text{d'où } F_x + iF_y = -i\rho r V_\infty e^{i\alpha} = -\rho r V_\infty e^{i(\alpha + \frac{\pi}{2})}$$

Finallement :

$$\vec{F} = \begin{cases} 4\pi \rho V_\infty^2 a \cos(\alpha + \frac{\pi}{2}) \\ 4\pi \rho V_\infty^2 a \sin(\alpha + \frac{\pi}{2}) \end{cases}$$

après avoir remplacé  
 $\rho$  par son expression

on de façon équivalente

$$\vec{F} = \begin{cases} -4\pi \rho V_\infty^2 a \cos(\frac{\pi}{2} - \alpha) \\ 4\pi \rho V_\infty^2 a \sin(\frac{\pi}{2} - \alpha) \end{cases}$$

## 7) Calcul de la force à l'aide de Biot-Savart :

$$F_x - iF_y = \frac{i\mu}{2} \left\{ \frac{[\tilde{f}'(\xi)]^2}{\psi'(\xi)} \frac{d\xi}{\xi} \right\} \quad (\text{chapitre 2, I2})$$

$$\frac{(\tilde{f}')^2}{\psi'(\xi)} = \left[ V_\infty \left( e^{-i\alpha} - \frac{a^2 e^{i\alpha}}{\xi^2} \right) - \frac{iR}{2\pi} \frac{1}{\xi} \right]^2 \frac{\xi^2}{(\xi-a)(\xi+a)}$$

$$\begin{aligned} (\tilde{f}')^2 &= V_\infty^2 e^{-2i\alpha} + V_\infty^2 a^4 \frac{e^{2i\alpha}}{\xi^4} - 2 \frac{V_\infty^2 a^2}{\xi^2} - \frac{R^2}{4\pi^2} \frac{1}{\xi^2} - 2iV_\infty \left( e^{-i\alpha} - \frac{a^2 e^{i\alpha}}{\xi^2} \right) \frac{R}{2\pi} \frac{1}{\xi} \\ &= V_\infty^2 \left( e^{-2i\alpha} + a^4 \frac{e^{2i\alpha}}{\xi^4} - \frac{2a^2}{\xi^2} \right) - \frac{R^2}{4\pi^2 \xi^2} - \frac{R}{\pi} \frac{1}{\xi} V_\infty e^{-i\alpha} + i \frac{R}{\pi} V_\infty a^2 \frac{e^{i\alpha}}{\xi^3} \end{aligned}$$

Si on voit la plaque comme une ellipse aplatie, il y a 3 points singuliers à l'intérieur de la plaque où l'on doit calculer des résidus :  $\xi=0$ ,  $\xi=a$  et  $\xi=-a$

a) Résidu en  $\xi=0$  : c'est la limite :  $\lim_{\xi \rightarrow 0} \xi \frac{(\tilde{f}')^2}{\psi'(\xi)}$

Il est déterminé par le terme en  $\xi^{-3}$

$$\text{résidu} \left( \frac{\tilde{f}'^2}{\psi'}, 0 \right) = i \frac{R V_\infty a^2 e^{i\alpha}}{\pi} \frac{1}{(0-a)(0+a)} = -i \frac{R V_\infty e^{i\alpha}}{\pi}$$

La contribution de cette singularité à la force est donc :

$$F_{1x} - iF_{1y} = \frac{R i}{2} (2i\pi) \left( -i \frac{R V_\infty e^{i\alpha}}{\pi} \right) = i\mu R V_\infty e^{i\alpha}$$

Remarque : si  $\alpha \neq 0$   $\vec{F}_1$  est orthogonale à la plaque

$$F_{1x} + iF_{1y} = -i\mu R V_\infty e^{-i\alpha}$$

$$\vec{F}_1 = \begin{vmatrix} 4\pi \rho V_\infty^2 a \sin \alpha \cos(\frac{\pi}{2} - \alpha) \\ 4\pi \rho V_\infty^2 a \sin \alpha \sin \alpha \sin(\frac{\pi}{2} - \alpha) \\ \vec{i}, \vec{j} \end{vmatrix}$$

b) résidu en  $\xi=a$ :

Comme le point d'arret  $B_1$  est en  $B$ , on a  $\tilde{f}'(\xi=a)=0$   
 , c'est à dire que  $\tilde{f}'(\xi=a)=(\xi-a) \times g$  avec  $g$  régulière en  $\xi=a$ .  
 et donc  $(\frac{\tilde{f}'(\xi)}{\phi'})^2$  a une singularité éliminable en  $\xi=0$

$$\text{résidu}(\frac{\tilde{f}'^2}{\phi'}, a) = 0$$

Ce point singulier ne contribue pas à la force.

c) résidu en  $\xi=-a$ :

$$\begin{aligned} \tilde{f}'(\xi=-a) &= V_\infty (e^{-ia} - e^{ia}) + i \frac{r}{2\pi} \frac{1}{a} = i(-V_\infty 2 \sin \alpha + \frac{r}{2\pi} \frac{1}{a}) \\ &= i(-V_\infty 2 \sin \alpha - 2 \sin \alpha V_\infty) = -i 4 V_\infty \sin \alpha \end{aligned}$$

$$\tilde{f}'(\xi=-a) = -16 V_\infty^2 \sin^2 \alpha$$

$\xi=-a$  est donc un pôle simple et alors

$$\begin{aligned} \text{résidu}(\frac{(\tilde{f}')^2}{\phi'}, -a) &= -16 V_\infty^2 \sin^2 \alpha (-\frac{a}{2}) \\ &= 8 V_\infty^2 \sin^2 \alpha \end{aligned}$$

La contribution de cette singularité à la force  
 est donc :

$$\begin{aligned} F_{2x} - i F_{2y} &= \frac{e \dot{\xi}}{2} (2i\pi) [8 V_\infty^2 \sin^2 \alpha] = -8\pi V_\infty^2 \sin^2 \alpha \\ &= -8\pi \rho V_\infty^2 a \sin \alpha \cos(\frac{\pi}{2} - \alpha) \end{aligned}$$

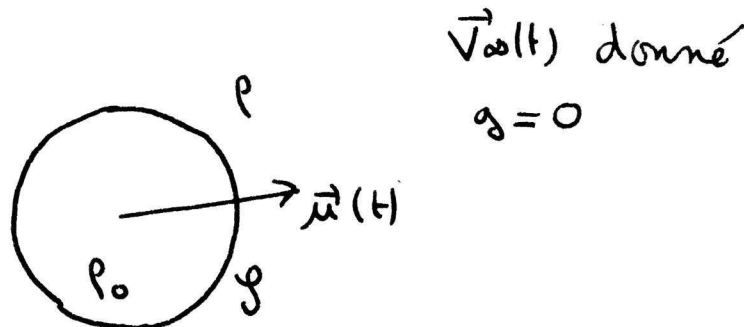
$$\text{d'où } F_{2x} + i F_{2y} = -8\pi \rho V_\infty^2 a \sin \alpha \cos(\frac{\pi}{2} - \alpha)$$

d) Force sur la plaque: on a  $\vec{F} = \vec{F}_1 + \vec{F}_2$ , ce qui redonne le résultat de 6).

## Chapitre 4

### I. Mouvement d'une sphère dans un liquide :

① Sphère soumise à un mouvement donné  $\vec{V}_\infty(t)$  de fluide à l'infini.



a) Afin de pouvoir appliquer la théorie des masses ajoutées, on se place dans le référentiel  $R^*$  qui laisse le fluide immobile en l'air. On se place donc dans un référentiel qui se déplace à la vitesse  $\vec{V}_\infty(t)$  par rapport au référentiel absolu  $R^a$ . Soit alors  $\tilde{u}(t)$  la vitesse de la sphère dans  $R^*$ . Il vient  $\tilde{u} = \tilde{u} + \vec{V}_\infty(t)$ .

On note  $M = \rho_0 V$  la masse de la sphère

$M_a = \frac{1}{2} \rho V$  la masse ajoutée

où  $V$  est le volume de la sphère.

On remarque que dans  $R^*$  existe une force d'inertie volumique, dont le champ (comparable à un champ de gravitation) a pour accélération  $-\vec{V}_\infty$ .

Cette force a une action :

$$\frac{d\vec{v}}{dt} = -\text{grad} P + \vec{g}$$

$$\frac{d\vec{v}_\infty}{dt} = -\text{grad} P - \vec{V}_\infty^2 + \vec{g}$$

- volumique sur la sphère (équivalente à un poids) :

$$M(-\vec{V}_\infty)$$

- volumique sur le fluide, qui génère un champ de pression responsable d'une force de contact sur la sphère (équivalente à une poussée d'Archimède) :

$$-(\rho M_a)(-\vec{V}_\infty)$$

L'équation fondamentale de la dynamique appliquée à la sphère dans  $\mathbb{R}^3$  est donc :

$$M \ddot{\vec{u}} = \underbrace{-M \vec{V}_\infty}_{\text{"poids"}} + \underbrace{\rho M_a \vec{V}_\infty}_{\text{"Poussée d'Archimède"}} - \underbrace{M a \vec{u}}_{\text{"masse ajoutée"}}$$

On voit bien la signification de la terminologie "masse ajoutée" puisque cette masse se rajoute à la masse pesante dans l'écriture de la relation fondamentale de la dynamique (au niveau du terme d'accélération)

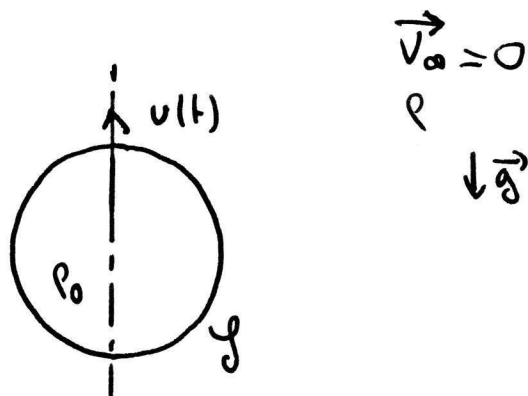
b) Comme on a  $\vec{u} = \vec{v} + \vec{V}_\infty(t)$ , il vient

$$(M + M_a) \ddot{\vec{u}} = 3 M_a \vec{V}_\infty$$

D'où

$$\vec{u} = \frac{3 \ell}{2 \rho_0 + \rho} \vec{V}_\infty(t)$$

② Sphère en mouvement vertical dans un champ de pesanteur :



Comme précédemment, on note :

$$M = \rho \cdot V \text{ la masse de la bille}$$

$$Ma = \frac{1}{2} \rho V \Lambda \text{ la masse ajoutée}$$

où  $V$  est le volume de la sphère.

a) On écrit alors la relation fondamentale de la dynamique appliquée à la sphère :

$$M \ddot{\vec{u}} = \underbrace{M\vec{g}}_{\substack{\text{poids}}} - \underbrace{2Ma\vec{g}}_{\substack{\text{Archimède}}} - \underbrace{Ma\dot{\vec{u}}}_{\substack{\text{masse} \\ \text{ajoutée}}} + \underbrace{\cancel{M\ddot{\vec{u}}}}_{\substack{\text{Force} \\ \text{à distance}}} + \underbrace{\cancel{2Ma\ddot{\vec{u}}}}_{\substack{\text{Forces de contact}}}$$

$$\text{D'où en projetant : } M\ddot{u} = -gM - Ma\dot{u} + g2Ma$$

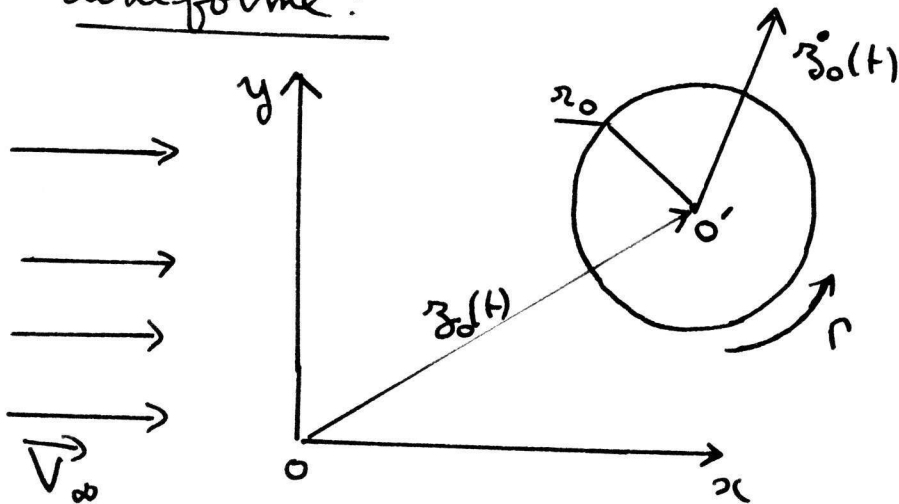
$$\text{Il vient } \ddot{u} = -g \frac{M-2Ma}{M+Ma}, \text{ donc } \boxed{u(t) = -g \frac{M-2Ma}{M+Ma} t + u(0)}$$

b) Hauteur maximale atteinte :

$$u(t_m) = 0 = -g \frac{M-2Ma}{M+Ma} t_m + u_0 \text{ d'où } t_m = \frac{M+Ma}{M-2Ma} \frac{u_0}{g}$$

$$h = \frac{1}{2} \left( g \frac{M-2Ma}{M+Ma} \right) t_m^2 = \frac{1}{2} \frac{M+Ma}{M-2Ma} \frac{u_0^2}{g} = \boxed{\frac{1}{4} \frac{2\rho_0 + \rho}{\rho_0 - \rho} \frac{u_0^2}{g} = h}$$

## II Cylindre en rotation dans un écoulement uniforme :



Masse linéaire du disque :  $M = \rho_0 \pi r_0^2$

Masse ajoutée du disque :  $M_a = \rho \pi r_0^2$

- 1) On suppose le disque fixe positionné en  $O$ .  
Le potentiel complexe de la vitesse de l'écoulement autour du disque est :

$$f(z) = V_\infty \left( z + \frac{r_0^2}{z} \right) - i \frac{\Gamma}{2\pi} \log z.$$

- 2) a) Équation d'Euler dans  $R^l$  :

relation de changement de référentiel entre  $R$  et  $R^l$ :

$$z = z^l + z_0(t)$$

composition des vitesses :  $v = v^l + \dot{z}$ .

composition des accélérations  $a = a^l + \ddot{z}$ .

Équation d'Euler dans  $R$  : (en irrotationnel)

$$\vec{a} = \frac{d\vec{v}}{dt} = \frac{\partial \vec{v}}{\partial t} + \text{grad} \frac{v^2}{2} = -\text{grad}_e p + \vec{\omega} \times \vec{v} \quad \text{et } \vec{g} = 0$$

D'où dans  $\mathbb{R}^3$  :

$$\begin{aligned}\mathbf{a}^l &= \frac{\gamma v^l}{r} + \text{grad} \frac{v^l}{2} = \vec{a} - \vec{g}_0 \\ &= -\text{grad} \frac{P}{\rho} - \vec{g}_0\end{aligned}$$

On pose  $\vec{g}^* = -\text{grad}(\vec{g}_0 \cdot \vec{r}) = -\vec{g}_0$ .

$$\boxed{\frac{\gamma v^l}{r} = -\text{grad} \left( \frac{v^l}{2} + \frac{P}{\rho} \right) + g^*} \quad \text{avec } \boxed{\vec{g}^* = -\vec{g}_0}$$

b) Dans  $\mathbb{R}^3$ , le disque est fixe et voit arriver un écoulement uniforme  $V_\infty - \vec{g}_0(t)$  en l'infini. D'où

$$\boxed{f^l(z^l) = \overline{(V_\infty - \vec{g}_0)} z^l + \frac{r_0^2}{z^l} (V_\infty - \vec{g}_0) - \frac{i r}{2\pi} \log z^l}$$

c) Potentiel complexe dans  $\mathbb{R}$  :

On a  $z = z^l + \vec{g}_0 l t$

$$v = \frac{df}{dz} = v^l + \vec{g}_0 = \frac{df^l}{dz^l} + \vec{g}_0 \quad \text{d'où } \frac{df}{dz} = \frac{df^l}{dz^l} + \vec{g}_0$$

$$\frac{df}{dz} = V_\infty - \overline{\vec{g}_0} + \overline{\vec{g}_0} - \frac{r_0^2}{z^{l2}} (V_\infty - \vec{g}_0) - \frac{i r}{2\pi} \frac{1}{z^l}$$

$$= V_\infty - \frac{r_0^2}{(z - \vec{g}_0)^2} (V_\infty - \vec{g}_0) - \frac{i r}{2\pi} \frac{1}{(z - \vec{g}_0)}$$

D'où

$$\boxed{f(z) = V_\infty z + \frac{r_0^2}{(z - \vec{g}_0)} (V_\infty - \vec{g}_0) - \frac{i r}{2\pi} \log(z - \vec{g}_0)}$$

d) Potentiel complexe dans  $\mathbb{R}^m$ :

On a  $\zeta^m = \zeta - V_\infty t$  et on pose  $\boxed{\zeta_0^m = \zeta_0 - V_\infty t}$

$$\text{On a } v^m = v - V_\infty = \frac{df}{d\zeta} - V_\infty$$

$$\text{l'est à dire } \frac{df^m}{d\zeta^m} = \frac{df}{d\zeta} - V_\infty$$

$$= - \frac{r_0^2}{(\zeta - \zeta_0)^2} (V_\infty - \zeta_0) - \frac{i r}{2\pi} \frac{1}{\zeta - \zeta_0}$$

$$= - \frac{r_0^2}{(\zeta^m - \zeta_0^m)^2} (V_\infty - \zeta_0) - \frac{i r}{2\pi} \frac{1}{\zeta^m - \zeta_0^m}$$

D'où :

$$\boxed{f^m(\zeta) = \frac{r_0^2}{(\zeta^m - \zeta_0^m)} (V_\infty - \zeta_0) - \frac{i r}{2\pi} \log |\zeta^m - \zeta_0^m|}$$

e) Force de contact sur le disque dans  $\mathbb{R}^l$ :  $f^l = \varphi^l + i \psi^l$

$$\text{Bernoulli dans } \mathbb{R}^l: \rho \frac{d\varphi^l}{dt} + \frac{\rho v^l}{2} - \rho \vec{g}^l \cdot \vec{n} + p = \text{constant}$$

Soit  $\vec{F}$  la force de contact sur le disque dans  $\mathbb{R}^l$ .

On a  $\vec{F} = \int_C p \vec{n} ds$  où  $\vec{n}$  est la normale intérieure au disque

$$\boxed{\vec{F} = - \int_C \rho \frac{d\varphi^l}{dt} \vec{n} ds - \int_C \rho \frac{v^l}{2} \vec{n} ds + \int_C \rho \vec{g}^l \cdot \vec{n} ds}$$

Reste à calculer ces trois termes.

- $\int_C \rho g^x \cdot \vec{OM} \vec{n} ds$  est la poussée d'Archimède due

$$\text{à } \vec{g}^x = -\vec{z}_0 \text{ et donc } \boxed{\int_C \rho g^x \cdot \vec{OM} \vec{n} ds = \rho \pi r_0^2 z_0 = \rho a z_0}$$

- $-\int_C \rho \frac{v^l}{2} \vec{n} ds$  est la force exercée par l'écoulement  $f^l(z^l)$

sur le cercle en considérant le disque fixe

On la calcule à l'aide de la formule de Kutta-Joukovsky :

$$-\int_C \rho \frac{v^l}{2} \vec{n} ds = -c \rho \Gamma (V_\infty - z_0)$$

- Reste à calculer  $-\int_C \rho \frac{\dot{\varphi}^l}{2} \vec{n} ds$ . Pour cela, comme  $f^l = \dot{f}^l + i \dot{\varphi}^l$ ,

on a  $\dot{f}^l = \dot{\varphi}^l + i \dot{\psi}^l$  et  $\dot{f}^l = -\ddot{z}_0 z^l + \frac{r_0^2}{3^l} (-\ddot{z}_0)$  en se servant de l'expression de  $f^l$  trouvée en b)

Or sur le cercle, on a  $z^l = r_0 e^{i\theta}$  d'où :

$$\begin{aligned} \dot{f}^l &= -\ddot{z}_0 r_0 e^{i\theta} - r_0 e^{-i\theta} \ddot{z}_0 \\ &= -r_0 [\overline{z_0 e^{i\theta}} + \dot{z}_0 e^{-i\theta}] \in \mathbb{R} \end{aligned}$$

Comme  $\dot{f}^l = \dot{\varphi}^l + i \dot{\psi}^l \in \mathbb{R}$ , on a  $\dot{f}^l = \dot{\varphi}^l$ .

Il vient alors :

$$\begin{aligned}
 - \oint_C \rho \frac{\partial \varphi^l}{\partial t} \vec{n} ds &= - \rho_i \int_C f^l dz \cos \vec{n} ds = i dz \\
 &= - \rho_i \int_C \left[ -3_0^* z + \frac{r_0^2}{3} (-3_0^*) \right] dz \\
 &= - \rho_i (2\pi r_0^2) r_0^2 (-3_0^*) = - 2(\rho \pi r_0^3) 3_0^* = - 2 \pi a 3_0^*
 \end{aligned}$$

On a donc

$$\boxed{- \oint_C \rho \frac{\partial \varphi^l}{\partial t} \vec{n} ds = - 2 \pi a 3_0^*}$$

On voit qu'alors

$$\boxed{- \oint_C \rho \frac{\partial \varphi^l}{\partial t} \vec{n} ds + \int_C \rho \vec{g}^e \cdot \vec{\omega} \vec{n} ds = - \pi a 3_0^*}$$

résultat qu'on se propose de déterminer autrement.

On remarque d'abord que  $\frac{\partial \varphi^l}{\partial t}$  ne fait pas intervenir le terme due à la circulation, et donc on se servira de l'expression de  $\varphi^l$  avec  $\Gamma=0$ .

On a:

$$- \oint_C \rho \frac{\partial \varphi^l}{\partial t} \vec{n} ds + \int_C \rho (-3_0^*) \cdot \vec{\omega} \vec{n} ds$$

$$= - \oint_C \rho \frac{\partial [\varphi^l + 3_0^* \cdot \vec{\omega}]}{\partial t} \vec{n} ds = \boxed{- \oint_C \rho \frac{\partial \varphi^m}{\partial t} \vec{n} ds}$$

car comme  $\vec{v}^m = \vec{v}^l + 3_0^* - \vec{V}_\infty$ ,  $\vec{v}^m = \text{grad } \varphi^m$  et  $\vec{v}^l = \text{grad } \varphi^l$ ,

$$\text{on a } \varphi^m = \varphi^l - V_\infty z + 3_0^* \cdot \vec{\omega}$$

On reconnaît alors la force due à la masse éjectée de l'écoulement sans circulation dans le référentiel  $R^m$ , c'est à dire  $-\pi a 3_0^*$

On retrouve donc le résultat que l'on avait obtenu précédemment, en utilisant ici la théorie des mises ajoutées.

On rappelle que :

$$M_a = e \int_{r=r_0}^{\infty} \varphi^m \frac{\varphi^m}{r^m} r d\theta. \text{ On peut donc vérifier que}$$

$M_a = \pi r_0^2 \rho$ , en remplaçant l'expression de  $\varphi^m$  (à  $r=\omega$ ) obtenue à l'aide à l'aide de  $f^m$  (question d), dans cette définition de  $M_a$ .

Remarque : on a  $\varphi^m = -r_0^2 \left[ \frac{x_0 (\frac{x^m - x_0^m}{(x^m - x_0^m)^2 + (y^m - y_0^m)^2}) + y_0 (\frac{y^m - y_0^m}{(x^m - x_0^m)^2 + (y^m - y_0^m)^2})}{\sqrt{(x^m - x_0^m)^2 + (y^m - y_0^m)^2}} \right]$

expression sur laquelle on retrouve le découpage linéaire entre vitesse du solide et potentiel d'écoulement du fluide.

f) On applique la relation fondamentale de la dynamique au disque dans  $\mathbb{R}^3$ . Le disque est en équilibre dans ce référentiel et donc :

$O = -\cancel{M_3 \ddot{\beta}_0} + \cancel{\vec{F}_m}$	
force d'inertie à distance	forces de contact

Avec e) on a donc  $O = -M_3 \ddot{\beta}_0 - i \rho r (V_\infty - \dot{\beta}_0) - M_a \ddot{\beta}_0$

$$(M + M_a) \ddot{\beta}_0 = -i \rho r (V_\infty - \dot{\beta}_0)$$

Expression sur laquelle on voit bien la signification de la dénomination "mose ajoutée"

### g) Obtention de la trajectoire :

On pose  $M = M + Ma$

On a  $M \ddot{z}_0 = -i\ell r \Gamma (V_\infty - z_0)$

$$M \ddot{z}_0 - i\ell r \dot{z}_0 = -i\ell r V_\infty$$

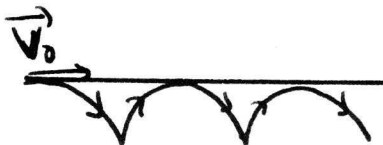
$$M \ddot{z} - i\ell r \dot{z} = -i\ell r V_\infty \text{ en posant } z = z_0$$

l'où  $z = V_\infty + (\vec{V}_0 - \vec{V}_\infty) e^{-\frac{i\ell r}{M} t}$  où  $\vec{V}_0$  est la vitesse initiale

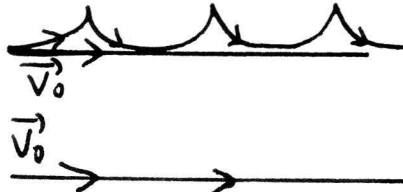
et 
$$z_0 = V_0 t + (\vec{V}_0 - \vec{V}_\infty) \left(1 - e^{-\frac{i\ell r}{M} t}\right) \frac{M}{i\ell r} \quad (1)$$

Sont les différents cas de figures :

$$\begin{aligned} V_0 - V_\infty &> 0 \\ r &> 0 \end{aligned}$$



$$\begin{aligned} V_0 - V_\infty &< 0 \\ r &> 0 \end{aligned}$$



$$V_0 = V_\infty$$



On a des arches de cycloïde.

h) La limite  $n \rightarrow \infty$ : Alors  $M \rightarrow 0$ . On a :

$$z_0 = V_0 t + (V_0 - V_\infty) \left(1 - e^{-i\ell r t^*}\right) \frac{M}{i\ell r}$$

$$\text{et } z_0 = V_\infty - (V_0 - V_\infty) e^{-i\ell r t^*}$$

où  $t^* = t/M$

Il y a deux temps caractéristiques :  $t$  et  $t^*$ .

On a utilisé des développements par rapport au petit paramètre  $M$ , à deux échelles de temps (Méthode d'échelles multiples) de la forme  $f(t, M) = f^0(t, t^*) + M f^1(t, t^*) + \dots$

Sur (1) lorsqu'on fait  $\lim_{M \rightarrow 0}$ , on a une perturbation singulière qui a

# Chapitre 5

## I. Bateau à mat tournant

a) Calcul de la circulation :

Par définition de la circulation :

$$\Gamma = \oint_{C} \vec{v} \cdot d\vec{\theta} \quad \text{avec } \vec{v} : \text{vitesse du fluide}$$

$C$  : cercle de rayon  $r_0$  de centre O

$$= \oint_C v_\theta(r) r d\theta = \int_C (w_0 r) r d\theta = \int_0^{2\pi} (w_0 r_0) r_0 d\theta = 2\pi r_0^2 w_0.$$

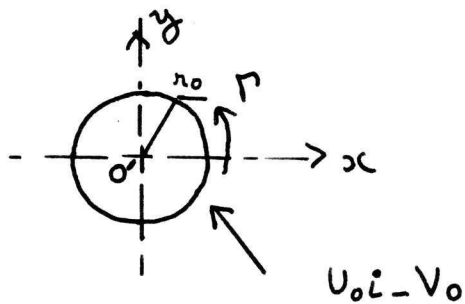
où l'on a pris l'écoulement en bloc de fluide à la vitesse  $w_0$  :

$$\begin{aligned} \vec{v} &= (v_r, v_\theta) \text{ sur le repère polaire } (\vec{r}, \vec{\theta}) \\ &= (0, v_\theta(r)) = (0, w_0 r) \end{aligned}$$

On a donc le résultat cherché :

$$\boxed{\Gamma = 2\pi r_0^2 w_0}$$

b) Potentiel complexe  $f$  de l'écoulement dans un repère lié au bateau :



Dans ce référentiel, le cylindre tourne à la vitesse angulaire  $\omega_0$  autour d'un point fixe  $O'$  et voit un écoulement uniforme  $V_0,i - V_0$  à l'infini.

En appliquant le théorème du cercle sur un écoulement uniforme, puis en faisant la rotation adéquate, et enfin en placant un point tourbillon d'intensité  $\Gamma$  en  $O'$  afin d'avoir la bonne circulation tout en préservant le fait que  $C$  soit une ligne de courant on obtient :

$$f(z) = \overline{V_\infty} z + \frac{\omega_0^2}{3} V_\infty - \frac{i\Gamma}{2\pi} \log(z) \text{ avec ici } V_\infty = V_{0,i} - V_0$$

On a donc

$$f(z) = -(V_0 + i V_0) z + \frac{\omega_0^2}{3} (-V_0 + i V_0) - \frac{i\Gamma}{2\pi} \log(z)$$

c) La force  $\vec{F} = (F_x, F_y)$  exercée par le vent sur le mat est donnée par la formule de Soukovsky:

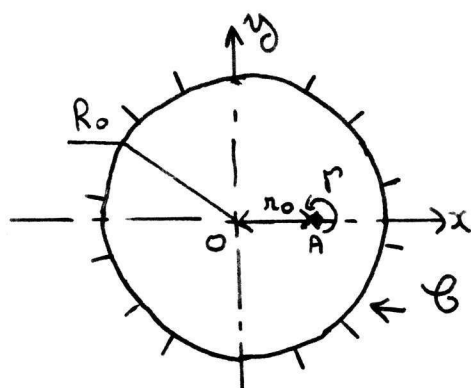
$$F_x - iF_y = i\rho \Gamma \overline{V_0}$$

$$= i\rho \Gamma (-V_0 - iU_0) = \rho \Gamma (U_0 - iV_0)$$

On a donc  $F_x = \rho \Gamma U_0$        $F_y = \rho \Gamma V_0$

La force de propulsion est  $F_x = \rho \Gamma U_0$ . Elle est fonction de la vitesse du vent qui est la cause du mouvement. Diverses réactions compensent la force  $F_y$  et s'opposent à  $F_x$  afin d'assurer une vitesse constante  $V_0$  du bateau dans notre modélisation simplifiée.

## II. Vidange d'un récipient



a) On doit trouver l'écoulement de fluide parfait tel que l'on ait un seul tourbillon fisce  $\Gamma$  en A à l'intérieur de C et tel que le cercle C soit une ligne de courant. Cet écoulement est bien unique car le domaine intérieur à C est simplement connexe.

Soit  $f_1 = -\frac{i\Gamma}{2\pi} \log(z-r_0)$  le potentiel complexe d'un tourbillon placé en A. On sait d'après le théorème du cercle (vu en TD) que  $\overline{f_1(z)} - f_1(z) + \overline{f_1}\left(\frac{R_0^2}{z}\right)$  est alors le potentiel d'un écoulement pour lequel C est une ligne de courant et tel que l'on ait un tourbillon en A d'intensité  $\Gamma$ .

$$\begin{aligned}
 f_2(z) &= -\frac{i\Gamma}{2\pi} \log(z-r_0) + \frac{i\Gamma}{2\pi} \overline{\log\left(\frac{R_0^2}{z} - r_0\right)} \\
 &= \frac{i\Gamma}{2\pi} \left[ -\log(z-r_0) + \log\left(\frac{\overline{R_0^2}}{\overline{z}} - r_0\right) \right] \text{ car } \log \bar{z} = \overline{\log z} \\
 &= -\frac{i\Gamma}{2\pi} \left[ +\log(z-r_0) + \log z - \log\left(z - \frac{R_0^2}{r_0}\right) \right] \text{ car } f_2 \text{ est} \\
 &\quad \text{défini à une constante près.}
 \end{aligned}$$

Cet écoulement possède un tourbillon en O. On trouve donc l'écoulement cherché (un seul tourbillon à l'intérieur de  $\mathcal{C}$  en A) en supprimant ce tourbillon, cette opération conserve la ligne de courant  $\mathcal{C}$ .

D'où

$$f(z) = -\frac{i\Gamma}{2\pi} \log \frac{z-z_0}{z-\frac{R_0^2}{z_0}}$$

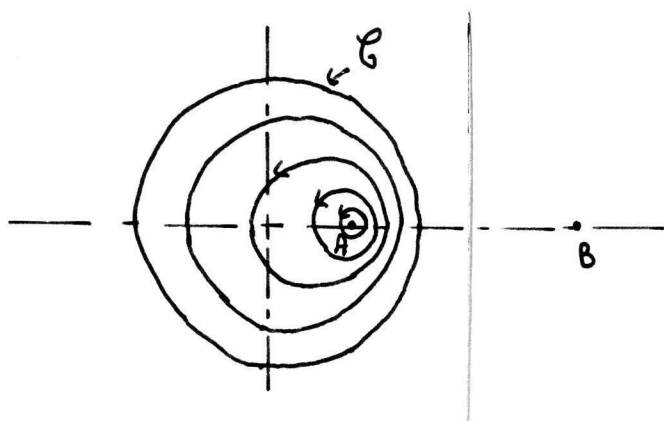
Soit B le point (extérieur à  $\mathcal{C}$ ) d'abscisse  $\frac{R_0^2}{z_0}$ .

Remarque: D'après le cours p.22 on a directement:

$$f(z) = -\frac{i\Gamma}{2\pi} \log \left( \frac{z-z_0}{z-z_0'} \right) \text{ avec ici } z_0 = r_0 \text{ et } z_0 z_0' = R_0^2$$

d'où  $z_0' = \frac{R_0^2}{r_0}$  ce qui redonne le résultat précédent.

b) Allure de l'écoulement:



Fonction de courant :

$$f = \phi + i\psi \text{ d'où}$$

$$\boxed{\Psi = -\frac{r}{2\pi} \log \left| \frac{z-z_0}{z-z_0'} \right|}$$

$$z_0 = r_0 \text{ et } z_0' = \frac{R_0^2}{r_0}$$

$$\Psi = \Psi_0 \text{ donne } \frac{MA}{MB} = k \text{ avec } k = e^{-\frac{\Psi_0}{r}} \text{ où } M \text{ est}$$

le point d'offisce  $z$  :  $M(z)$  et  $B(z_0')$

$$\frac{MA}{MB} = k \Rightarrow MA^2 = k^2 MB^2$$

$$\vec{MA} \cdot \vec{MA} = k^2 \vec{MB} \cdot \vec{MB}$$

$$(\vec{MG} + \vec{GA})^2 = k^2 (\vec{MG} + \vec{GB})^2$$

$$MG^2 + GA^2 + 2\vec{MG} \cdot \vec{GA} = k^2 (MG^2 + GB^2 + 2\vec{MG} \cdot \vec{GB})$$

On choisit  $r$  tel que  $\vec{GA} - k^2 \vec{GB} = 0$

$$\text{Il vient } MG^2 = \frac{k^2 GB^2 - GA^2}{1 - k^2}$$

La ligne de courant  $\Psi = \Psi_0$  est donc un cercle de centre  $G$  tel que  $\vec{GA} - k^2 \vec{GB} = 0$  et de rayon  $\frac{1}{k} GA$

$$\text{où } k = e^{-\frac{\Psi_0}{r}}$$

c) Soit  $\vec{F}$  la force exercée par l'écoulement sur le récipient :  $\vec{F} = (F_x, F_y)$ .

D'après Blaies :  $F_x - iF_y = -\frac{\rho i}{2} \left( \frac{df}{dz} \right)^2 dz$ . (on a mis

un signe moins dans cette expression car l'écoulement est ici à l'intérieur de  $G$ .)

$$f' = -\frac{i\Gamma}{2\pi} \left( \frac{1}{z-z_0} - \frac{1}{z-z_0'} \right)$$

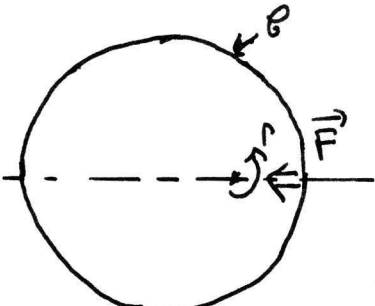
$$[f']^2 = -\left(\frac{\Gamma}{2\pi}\right)^2 \left[ \frac{1}{(z-z_0)^2} + \frac{1}{(z-z_0')^2} - \frac{2}{(z-z_0)(z-z_0')} \right]$$

$$\begin{aligned} F_{x-i} F_y &= -\frac{\rho i}{8} 2i\pi \text{Résidu}(f'^2, A) \\ &= \rho\pi \text{Résidu}(f'^2, A) \end{aligned}$$

$$\begin{aligned} \text{Or } \text{Résidu}(f'^2, A) &= \frac{\partial f'^2(z-z_0)}{\partial z} \text{ en } z_0 \\ &= -\left(\frac{\Gamma}{2\pi}\right)^2 \left[ \frac{(z-z_0)^2}{\partial z} \Big|_{z=z_0} - 2 \frac{\partial \left(\frac{z-z_0}{z-z_0'}\right)}{\partial z} \right] \\ &= 2\left(\frac{\Gamma}{2\pi}\right)^2 \frac{z-z_0'}{(z-z_0')^2} = 2\left(\frac{\Gamma}{2\pi}\right)^2 \frac{1}{(z_0-z_0')} \end{aligned}$$

$$F_{x_i-i} F_y = \rho \frac{\Gamma^2}{2\pi} \frac{1}{z_0-z_0'} = \frac{\rho\Gamma^2}{2\pi} \frac{1}{\pi_0 - \frac{R_0^2}{\pi_0}} < 0$$

D'où:  $F_{y_0}=0$  et  $F_{x_0} = -\frac{\rho\Gamma^2}{2\pi} \frac{1}{\frac{R_0^2}{\pi_0} - \pi_0} < 0$



Remarque 1: Dans le TD n°2 on avait la situation suivante :



Dans notre cas (intérieur à C) la force cherchée correspond à la réaction de  $\vec{F}_1$  et donc  $F_{x_0} < 0$  et  $|F_{x_0}| = \frac{\rho\Gamma^2}{2\pi} \frac{1}{r - \frac{R_0^2}{r}} = \frac{\rho\Gamma^2}{2\pi} \frac{1}{\frac{R_0^2}{\pi_0} - \pi_0}$  car  $r = \frac{R_0^2}{\pi_0}$   
et donc  $F_{x_0} = -\rho \frac{\Gamma^2}{2\pi} \frac{1}{\frac{R_0^2}{\pi_0} - \pi_0}$  comme précédemment.

Remarque 2: On aurait pu aussi utiliser l'action d'un tourbillon sur un autre.